

19/86  
ned.

وزارة التعليم والبحث العلمي  
MINISTÈRE DE L'ENSEIGNEMENT ET DE LA RECHERCHE SCIENTIFIQUE

## ECOLE NATIONALE POLYTECHNIQUE

DEPARTEMENT D'ELECTROTECHNIQUE

المكتبة المركبة للدراسات العليا  
BIBLIOTHEQUE — UNIVERSITÉ  
Ecole Nationale Polytechnique

## PROJET DE FIN D'ETUDES

En vue de L'obtention du diplôme d'ingénieur d'état

### S U J E T

# COMMUTATEUR ELECTRONIQUE A TRANSISTORS

Proposé par :

Mr H. MAAZI

Etudié par :

Mr TALEB TAHAR

Dirigé par :

Mr H. MAAZI

PROMOTION : JUIN 1986

# ~ DEDICACES ~

- A mes parents ; mes frères "yousef", mes sœurs
- A tous les enseignants qui ont contribué à ma formation, dès mon premier pas à l'école primaire au dernier pas à L'E.N.P.
- A tous les étudiants d'Électrotechnique.  
Je dédie mon travail.

## ~ Remerciements ~

Je tiens à adresser mes vifs remerciements à  
mon promoteur : A. MAZEI ; ainsi qu'aux  
messieurs :

- C. TOUHAMI.
- R. TAHMI.
- H. CHEKIREB.
- B. HEMICI.

Pour leurs aides et conseils précieux.

Je tiens à remercier également : tous ceux qui  
ont contribué, de près ou de loin, à ma formation.

Département: Électrotechnique...  
Moteur: H.. MAAZI.....  
Chef Ingénieur: TALEB....TAHAR..



صلحة: الكترونيكية  
وجه: ح. مغزى.  
لسيف مهندس: سالم الطاهري.

- الموضع: دراسة وتحقيق مبدل الكتروني بالترانزستور .  
- الملغى: هدف هذا المشروع هو دراسة وتحقيق مبدل الكتروني بالترانزستور .  
- هذا المبدل بإمكانه العمل في نظامين :  
- نظام يزيد الصفحة: ويميد الاتجاه او تبديل الاتجاه (تناوب)  
- نظام ثالثي الصفحة .  
- حسب تطوير يتراوح ما بين 5 هرتز و 50 هرتز .  
- كل طريقة تتطلب شبكة لحماية عملية التبديل .

Sujet: ETUDE ET REALISATION D'UN COMMUTATEUR ELECTRONIQUE A TRANSISTORS

Résumé: L'objectif de ce projet; c'est l'étude et la réalisation d'un commutateur électronique à transistors; ce commutateur peut fonctionner selon deux modes:  
- en monophasé: unidirectionnel ou bidirectionnel(alternatif).  
- en triphasé,  
à une fréquence allant de 5 Hz jusqu'à 50 Hz.  
Pour chaque mode de fonctionnement, l'utilisation d'un circuit d'aide à la commutation serait nécessaire.

Subject: STUDY AND REALISATION OF AN ELECTRONIC COMMUTATOR OF TRANSISTORS.

Abstract:  
The objectif of this project is the studing and realisation of an électroninc commutator of transistors.  
This commutator can work with two modes:  
- one phase: single way or return way(alternative).  
- three phases.  
For each type of working ,particular system of help commutation would use full.

# TABLE DE MATIÈRES

Introduction	1
 <u>CHAPITRE I</u>	
La commutation	2
Commutateur éhémécanique	2
Commutateur électronique	3
Généralités sur le transistor bipolaire	4
 <u>CHAPITRE II</u> — TRANSISTOR EN COMMUTATION	
Définition	8
Transistor bloqué	9
Transistor saturé	10
Caractéristiques dynamiques d'un transistor en commutation	11
Caractéristiques d'une commande optimale de base	12
 — PROBLÈMES DE COMMUTATION ET C.A.L.C —	
Problème de commutation	14
Les pertes	14
Circuits d'aide à la commutation	15
Protection contre les surtensions	15
Protection contre les surintensités	16
 <u>CHAPITRE III</u> PARTIE PRATIQUE : ÉTUDE ET RÉALISATION	
 — COMMUTATION A FAIBLE PUISSEANCE —	
mise en commutation du transistor	18
Commutation sur charge purement résistive	18
Commutation sur charge inductive	19
Circuit d'aide à la commutation	20

COMMUTATEUR DE PUISSANCE

Rappels sur les amplificateurs opérationnels	25
Essai et réalisation	29
(commutateur unidirectionnel)	29
Recherche du point de saturation	29
Commutateur bidirectionnel - Alternatif	35
Commutateur triphasé	37
- utilité du commutateur	
- commande du commutateur.	
Le déphanteur	38
Adoucissement du déphasage à la fréquence du signal de base	42
Coupleage du déphaseur aux cellules de puissance	44
Conclusion	47

## INTRODUCTION:

L'électrotechnique ; comme l'expression l'indique, est une filière que l'on peut assimiler à un chantier regroupant différentes techniques concernant l'électricité quelque soit : production ; transport ; utilisation.

Dans le but d'améliorer l'une des axes cités ci-dessus du point de vue rendement ; facilité ; fiabilité ; .... etc.

L'électronique de puissance, est l'un des issus, découverts dernièrement ; qui a donné à l'électrotechnique un nouvel élan.

Dans l'industrie où on a besoin souvent de transformer de l'énergie électrique au moins par l'une de ses caractéristiques (dépendance ou non en fraction du temps; valeur de la fréquence ; niveau ou nature de tension .....).

Historiquement ces modifications étaient réalisées par une association de machines tournantes ou bien par des machines spéciales, telles de commutatrices.

Aujourd'hui, l'électronique de puissance répond d'une manière efficace à ces exigences.

Par le biais des composants discrets ou intégrés à base de semi-conducteurs (transistors ; diodes ; thyristors ; ....) ; moins encombrants ; fiables ; et moins coûteux , on a pu réaliser des convertisseurs statiques tels que : les briseurs ; gradateurs ; modulateurs ou autres , qui consomment peu d'énergie en atteignant un rendement voisin de l'unité .

Dans notre travail , on va essayer de mettre en évidence un convertisseur statique portant le nom : commutateur électronique à transistors .

# CHAPITRE I

## I.1: LA COMMUTATION:

Est le fait de mettre en liaison ou dissociation deux parties d'un circuit électrique.

L'interrupteur est l'opérateur le plus simple de cette action.

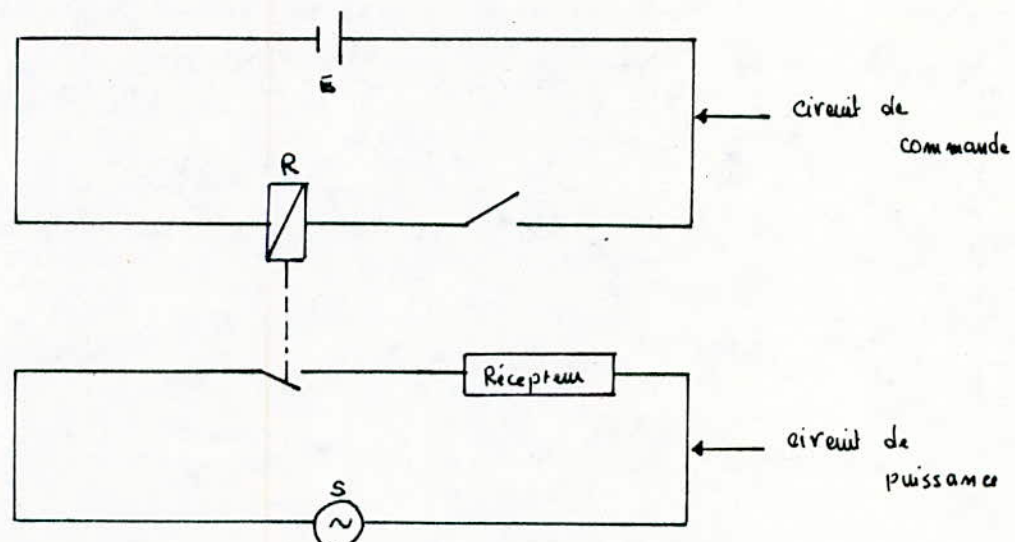
## I.2: COMMUTATEUR ÉLECTROMÉCANIQUE:

2<sup>e</sup> interrupteur manuel - mécanique - tous les formes la plus simple, cède la fonction de commutation, dans le domaine de fort courant (de puissance), à un autre dispositif plus complexe

: le relais électromécanique.

Qu'est ce qu'un relais électromécanique?

Est un système qui, sous l'effet d'un faible courant commandé par un opérateur manuel ou tout autre dispositif soumis à une grandeur physique, permet de mettre un circuit un courant ou une tension plus élevé destiné à faire fonctionner un récepteur.



~ schéma électrique d'un relais électromécanique ~

— 5 —

### Bilan de puissance (exemple pratique) d'un relais.

$$I_C = 0,06 \text{ A}$$

$$V_C = 4,5 \text{ V} \Rightarrow P_C = 0,06 \times 4,5 = 0,27 \text{ W.}$$

$$I_S = 1,25 \text{ A}$$

$$V_S = 220 \text{ V} \Rightarrow P_S = 1,25 \times 220 = 275 \text{ W.}$$

#### CONCLUSION:

En cet exemple on déduit l'intérêt du relais électromécanique dans le domaine de puissance ; avec une faible puissance (0.27 W) on peut commander une puissance mille fois plus grande (275 W).

#### L'exigence de la technologie et l'incapacité du relais électromécanique:

En dépit de ses avantages (robustesse ; tenue aux forts courants ; ...) le relais électromécanique est devenu inapte, avec ses inconvénients (poids, encombrement, prix, temps de réponse ; ...) de faire face aux exigences de la technologie ; une technologie qui cherche à optimiser tout outil d'exploitation.

### I.3. COMMUTATEUR ELECTRONIQUE :

C'est un dispositif statique ; à base de transistor plus performant qu'un R.E par ses propriétés :

- commutation statique (pas de mouvement mécanique  $\Rightarrow$  pas d'usure).
- commutation sur une large bande de fréquence (allant de 1 Hz — 1 GHz).
- temps de réponse plus court.
- à faible consommation d'énergie.
- silencieux pendant la commutation.
- coût très bas (ex : prix d'un transistor devant le prix d'un relais assurant la même fonction).

## - 4 - GÉNÉRALITÉS SUR LE TRANSISTOR - bipolaire -

### Définition:

un transistor est un composant actif ; possédant des caractéristiques statiques particulières qui lui permettent d'avoir de larges applications; ces applications peuvent être réunies en deux fonctions principales :

- amplification.

- commutation.

### Paramètres caractérisant un transistor:

a) gain statique en courant :

$$\beta = \frac{I_c}{I_B}$$

comme on peut définir un autre coefficient :

$$\alpha_{ce} = \frac{I_c}{I_E}$$

de la figure (1) :  $I_E = I_B + I_c$ .

$$\frac{I_c}{\alpha_{ce}} = I_c + \frac{I_c}{\beta} \quad I_B = \frac{I_c}{\beta} ; \quad I_E = \frac{I_c}{\alpha_{ce}}$$

$$\Rightarrow \boxed{\beta = \frac{\alpha_{ce}}{1 - \alpha_{ce}}}.$$

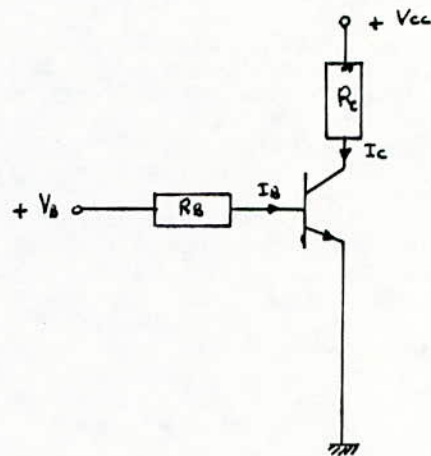
N.B: pratiquement  $\alpha_{ce} \approx 1 \Rightarrow I_c \approx I_E$ .

- b) la valeur maximum  $I_{cm}$  de courant de drain  $I_c$ .
- c)  $V_{CEX}$  : tensim max de bloage pour  $I_B < 0$ .
- d)  $V_{CEO}$  : tensim max de bloage pour  $I_B = 0$ .
- e)  $V_{ESAT}$  : tensim de saturation.
- f)  $P_{max}$  : valeur max de la puissance dissipée.

Pour un transistor de commutation - ou en commutation - on ajoute :

- g) les temps de réponse.
- h)  $f_T$  : fréquence de transition.

### Etat de fonctionnement d'un transistor:



un transistor est en fonctionnement si la jonction (base-emmeteur) est polarisée en direct, et celle de (base-collecteur) en inverse.

### Point de fonctionnement:

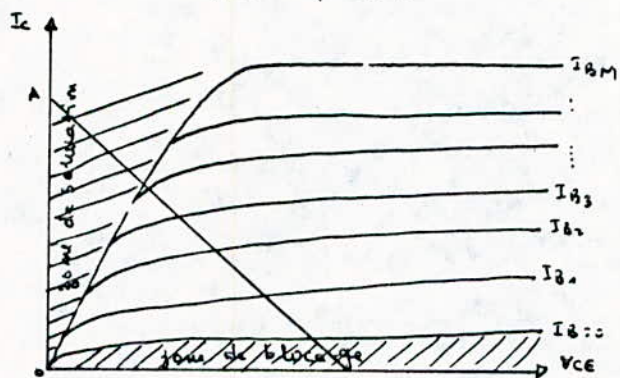
Il est l'intersection de la caractéristique statique  $I_C = f(V_{CE})$  pour  $I_B$  donné ; et la droite de charge :  $V_{CE} = V_{CC} + R_C \cdot I_C$ .

$$I_C = -\frac{V_{CE}}{R_C} + \frac{V_{CC}}{R_C}$$

### Zones de fonctionnement d'un transistor:

Pour un courant de base  $I_B$  (variable) ; le point de fonctionnement "P" décrit trois zones :

- zone dite de saturation :  $V_{CE} \approx 0$  ;  $I_C \approx \frac{V_{CC}}{R_C}$
- zone dite de blocage :  $V_{CE} \approx V_{CC}$  ;  $I_C \approx 0$
- zone active : la partie de la droite de charge limitée par les deux zones précitées.



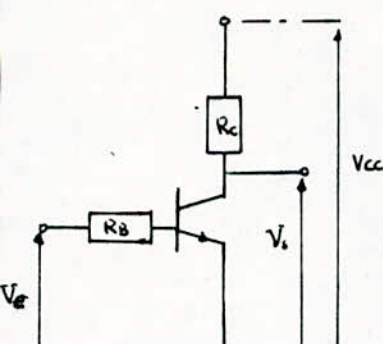
### Remarque:

Les points A, B ne sont plus atteints ; car en pratique la saturation et le blocage ne sont pas parfaits ; à cause des courants de fuite au blocage  $I_{CBO}$ , et la tension de saturation  $V_{CESAT}$ .

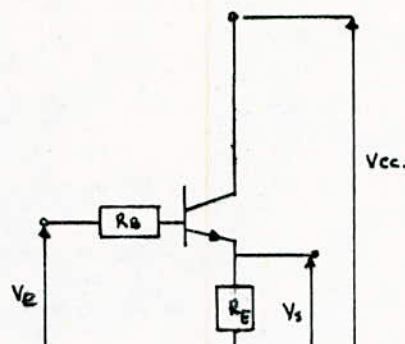
### Montages possibles d'un transistor:

- transistor en émetteur commun:  $\longrightarrow$  amplification en tension suivant.

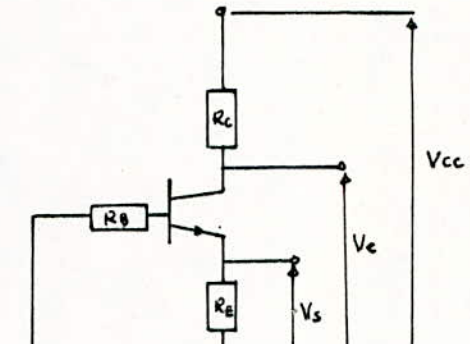
Transistor en collecteur commun :  $\longrightarrow$  amplification en courant ; adaptation d'impédance.  
transistor en base commune :  $\longrightarrow$  amplification en courant.



NPN - EC



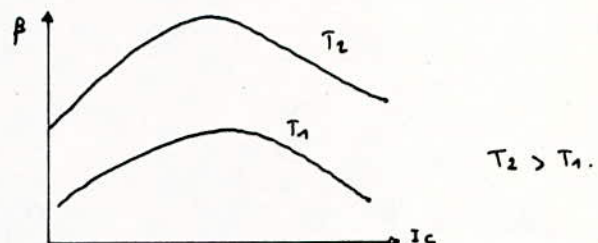
NPN . C.C



NPN - BC.

Variation de  $\beta$  vis à vis la température et le courant  $I_c$ :

Le problème principal rencontré lors d'utilisation des transistors - surtout de puissance - c'est la variation du gain en courant  $\beta$  en fonction de la température et du courant  $I_c$ ; chose qui rend la conception d'un tel circuit une tâche difficile ; ce qui exige un bon raffinement afin d'assurer la fiabilité du transistor.



$$\beta = f(I_c, T)$$

#### Association des transistors:

Afin d'augmenter la puissance des convertisseurs à transistors ; on les regroupe en diverses façons telles :

##### - Mise en parallèle :

La mise en parallèle de deux transistors au plus , a pour but d'augmenter le courant débité par l'ensemble.

Le problème qui se pose dans ce type de montage, c'est la répartition des courants entre les différents étages ; ce qui influence beaucoup sur le fonctionnement de la cellule.

- Mise en série ou coupleage Darlington:

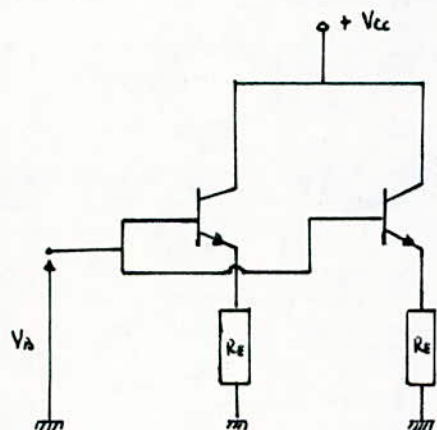
La mise en série de deux ou plusieurs transistors, a pour but d'augmenter le gain au tout.

Les problèmes qui se posent pour cette configuration sont :

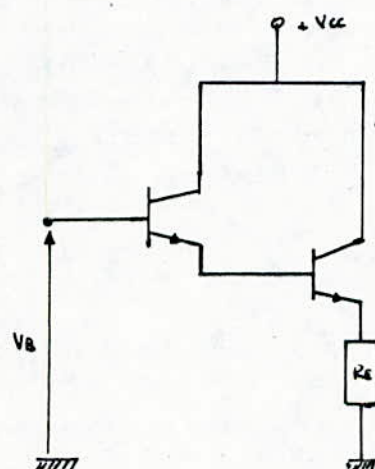
- la répartition des tensions aux bornes des différents transistors
- la commande des bases à des différents potentiels.

- Mise en push-pull:

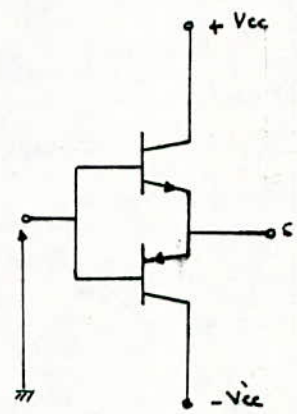
Ce type de montage est très utilisé en commutation instantané ; et il exige des transistors de types différents.



- mise en parallèle -



- mise en série -



- mise en push-pull -

## CHAPITRE II

### —TRANSISTOR EN COMMUTATION—

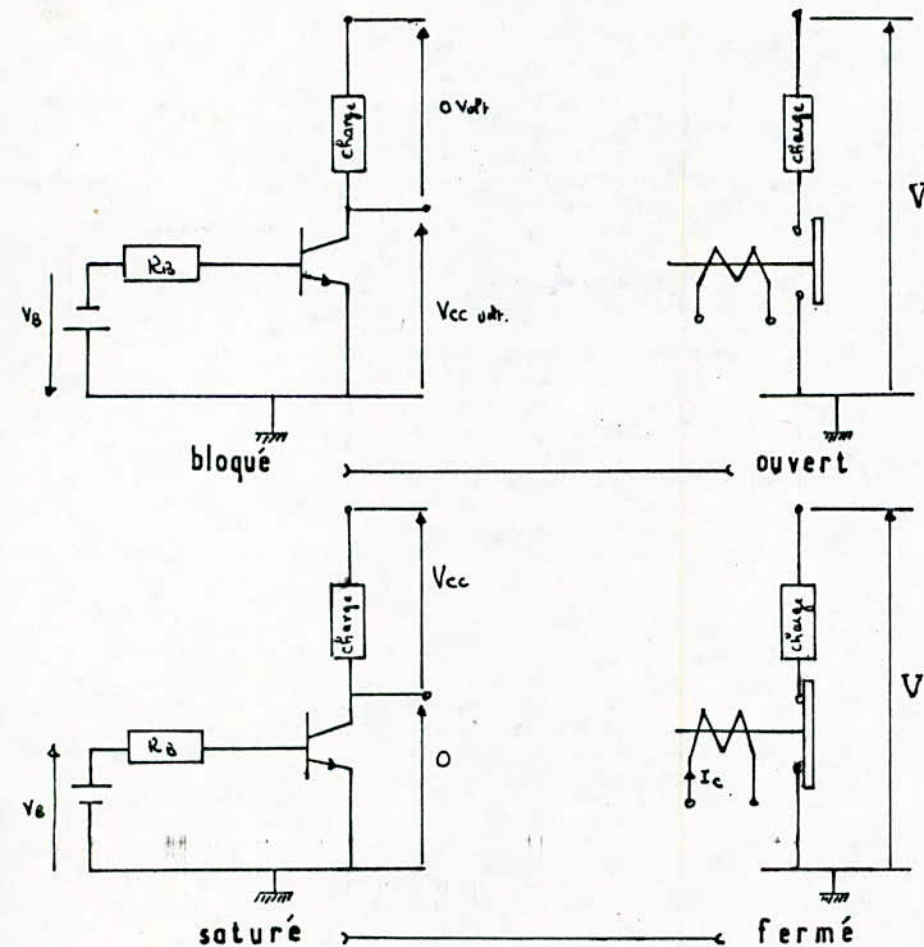
#### 1. DÉFINITION:

La commutation à transistor se traduit par le déplacement du point de fonctionnement, uniquement, entre les deux zones limitant la région dite active du réseau  $I_C = f(V_{CE})$ .

- zone de saturation.
- zone de blocage.

On dit le transistor commute au fonctionnement par tout ou rien. A la saturation il est traversé par un courant maximum limité seulement par la charge, au blocage un courant très faible le parcourt.

Avec ce type de fonctionnement, le transistor par ses trois bornes (base, émetteur, collecteur), ressemble à un relais électromécanique.



## J.2. TRANSISTOR BLOQUÉ

un transistor est dit bloqué ; si les deux jonctions base-emetteur et collecteur-base sont polarisées en inverse.

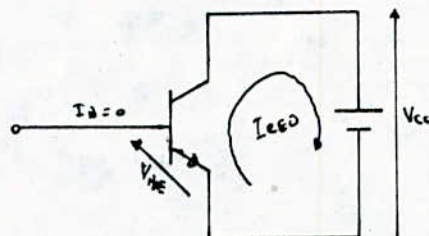
N.B.: Faire bloquer un transistor n'est pas une opération facile comme l'imagine, car on est en présence toujours des courants résiduels dès essentiellement au déplacement superficiel des charges.

### II.2.1 Procédés de blocage :

on procède de deux manières pour bloquer un transistor, l'une plus avantageuse que l'autre

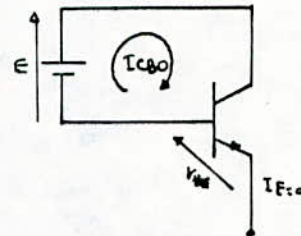
- \* ouverture du circuit de base.
- \* application d'un tensim négative dans la base.

### Illustration des deux méthodes:



- base ouverte -

$$I_{cEO} = (1 + \beta) I_{cBO}$$



- émetteur ouvert -

$$I_c = I_{cBO} \quad \text{avec } I_B = -I_{cBO}$$

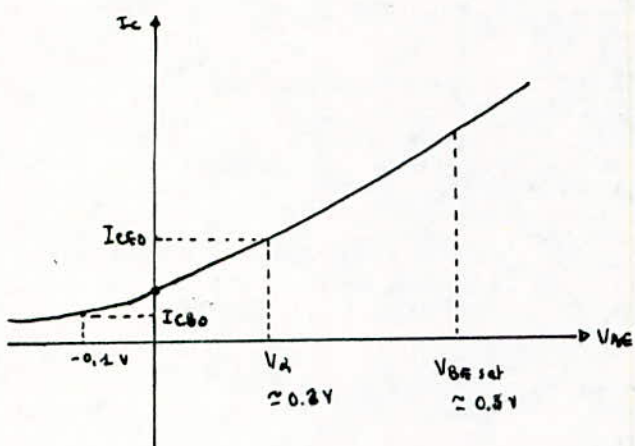
### Conclusion:

Des deux formules donnant le courant collecteur du blocage ; on distingue qu'un blocage rigoureux est obtenu par l'application d'un tensim de base négative.

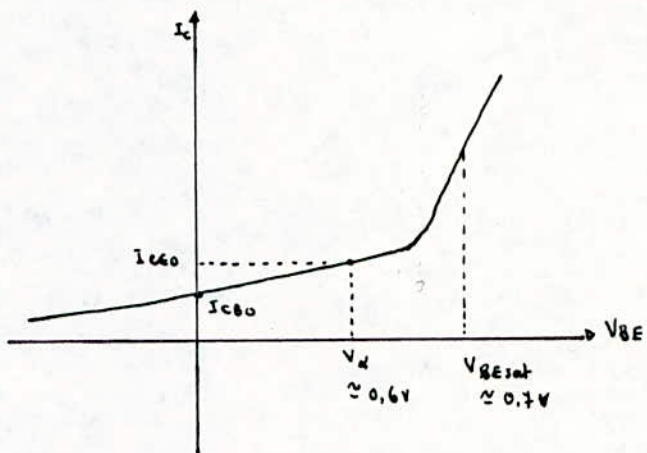
### II.2.2: Conditions pratiques de blocage:

On démontre que la condition pratique de blocage est la suivante :

$V_{AE} \leq V_d$ avec $V_d = V_{BSAT} - 0.1V$	(Verbeek synod).
--	------------------



- transistor au Germanium -



- transistor au Silicium -

## II.3. TRANSISTOR SATURÉ

Un transistor est dit saturé ; lorsque les deux jonctions base-emetteur et base-collecteur sont polarisées en direct.

A la saturation comme au blocage le transistor se comporte comme un interrupteur unipolaire.

Vu la présence d'un seuil  $V_{EEsat}$  inévitable.

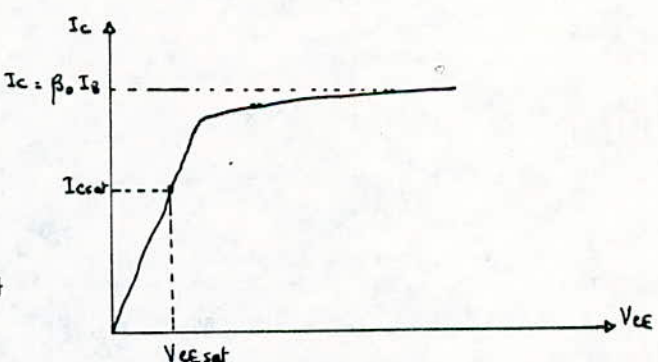
### II.3.1: Condition de saturation d'un transistor:

A la saturation le point de fonctionnement se situe sur la partie commune des réseaux des caractéristiques statiques  $I_c = f(V_{CE})$ .

Par conséquent, pour un transistor saturé "point S"

$$I_{Csat} < \beta_0 I_B \Rightarrow I_B > \frac{I_{Csat}}{\beta_0}$$

Vu la variation de  $\beta = f(I_c, T)$ , le choix de  $I_B$  dépend de la valeur minimale de  $\beta$ .

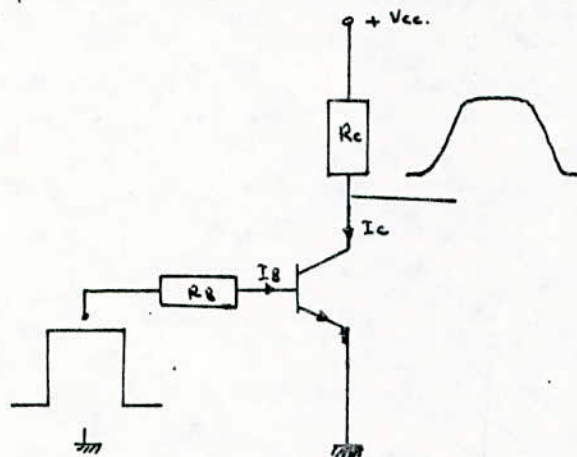


#### Remarque:

La sensibilité des composants semi-conducteurs aux gradients de température rend le calcul préliminaire des points de blocage ou de saturation assez difficile d'heure.

## II-4-CARACTÉRISTIQUES DYNAMIQUES D'UN TRANSISTOR EN COMMUTATION

Elles concernent les modalités de transition entre les deux états de fonctionnement du transistor, qui empruntent plus exactement les temps de réponse, constituant le facteur primordial de choix d'un transistor en commutation.



Transistor NPN commandé par des évenements.

### Chromogramme des courants:

Le retard au répondeur aux impulsions de base d'un transistor en commutation, est dû essentiellement aux capacités propres du transistor.

$t_d$ ,  $t_r$ ,  $t_s$  et  $t_f$  constituent les paramètres de commutation du transistor; dont dépendent la durée minimale et la période minimale des impulsions de base. (à transmettre).

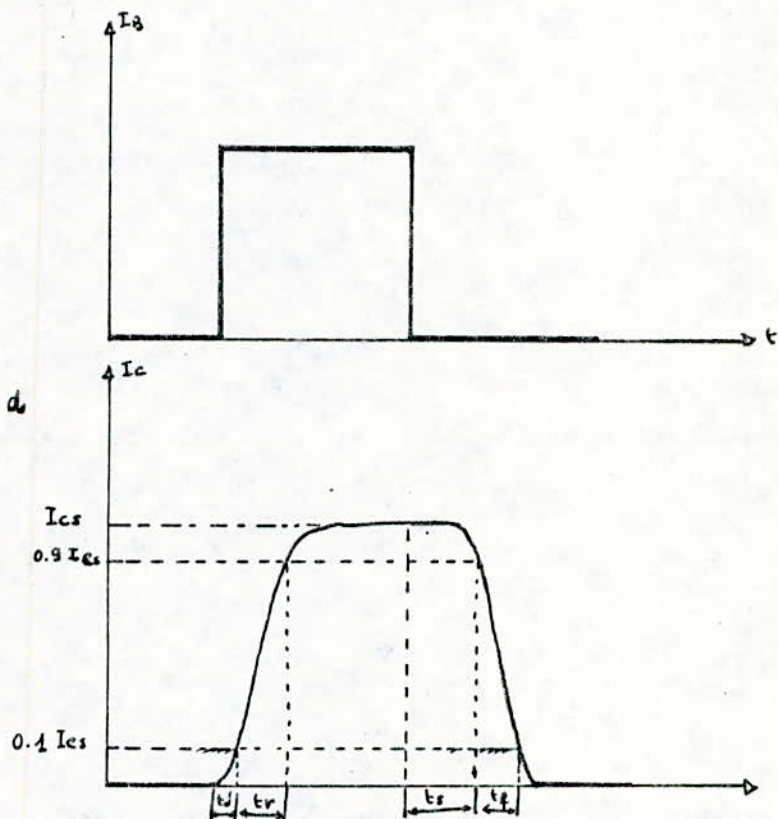
$t_d$ : temps de retard à l'allumage.

$t_r$ : temps de montée.

$t_s$ : temps de stockage.

$t_f$ : temps de descente.

On peut définir : - le temps de fermeture:  $t_{off} = t_d + t_r$ .  
- le temps d'ouverture:  $t_{on} = t_s + t_f$ .



## II.5. CARACTÉRISTIQUES D'UNE COMMANDE OPTIMALE DE BASE

les temps de fermeture et d'ouverture - comme on a signalé - caractérisent bien la performance du transistor; du fait qu'ils influent énormément - surtout sur les pertes dans la junction -, ainsi que sur sa fiabilité.

Ce qui nous invite à envisager une commande optimale caractérisée par:

1. attacher la base par un courant dont  $\frac{dI_B}{dt}$  aussi grand que possible.
2. adapter le courant de base au courant de saturation du collecteur.
3. à la coupure - ouverture - appliquer une tension négative dans la base du transistor.
4. pour améliorer le blocage, maintenir une tension de base négative, qui accroît les protections contre les recombinations intempestives du transistor.

### II.5.1: Réalisation des principes d'une commande optimale de base:

- \* solution pour obtenir un arrimage optimum qui a pour but de diminuer  $t_r$ , avec l'inconvénient de prolonger  $t_s$ .

Pour cela on envoie dans la base un courant

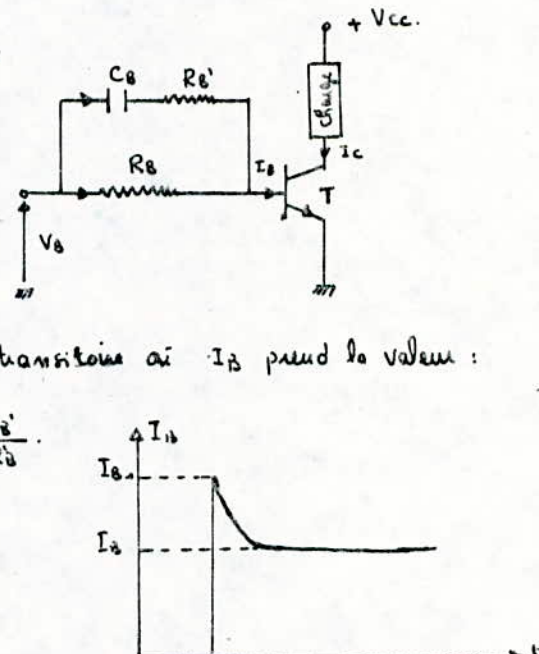
$$I_B > \frac{I_{sat}}{\beta}.$$

Le courant permanent de base:

$$I_B = \frac{V_B - V_{BE}}{R_B}$$

Le circuit  $C_B, R_B' // R_B$  passe un régime transitoire où  $I_B$  prend la valeur :

$$I_{B+} = (V_B - V_{BE}) \frac{R_B + R_B'}{R_B \cdot R_B'}$$



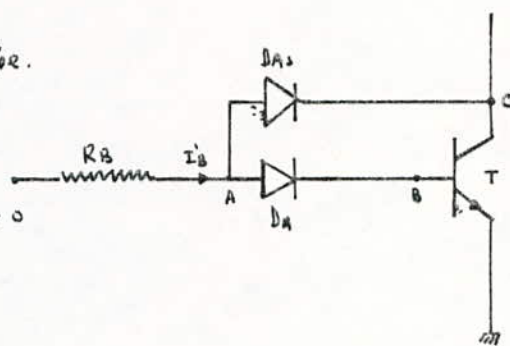
- \* \* solution pour adapter le courant  $I_B$  au courant  $I_C$ , qui a pour but de garantir la détection et d'éviter la sur-saturation en prolongeant  $t_s$ .

tant que  $T$  n'est pas saturé ;  $V_C > V_A \Rightarrow$  Dac : bloqué.

VC dévoit jusqu'à l'aménagement de DAs où :

$$V_{CB} = (V_C - V_A) + (V_A - V_B) = V_{DA} - V_{DAs} \approx 0$$

$$\Rightarrow \nabla c_B = 0.$$



## II.6. PROBLEMES DE COMMUTATION ET C.A.L.C

### II.6.1: Problèmes de commutation:

La nature de la charge : qui est généralement de type inductif - R,L - (moteur ; résistance bobinée ...), mais crée des contraintes lors de la commutation - ouverture ou fermeture - qui se traduisent par :

- des surtensions.
- des surintensités.

Ce qui amène à des pertes . réchauffement . dans le semi. conducteur.

#### II.6.1.a Les pertes :

En commutation, la fiabilité et la sécurité du transistor sont attribuées aux pertes d'énergie accompagnant l'ouverture et la fermeture.

Afin de minimiser ces pertes ; on exige de garder le point de fonctionnement dans le dit - air de sécurité -

qui limite par  $I_c = I_{cm}$  ; et ;  $V_{ce} = V_{CEO}$

et l'hyperbole de dissipation maximale

définie par :

$$P = V_{ce} \cdot I_c = \alpha_e \cdot C \Rightarrow$$

$$P_{dmax} = C_{max} \Rightarrow I_c = \frac{C_{max}}{V_{ce}}$$

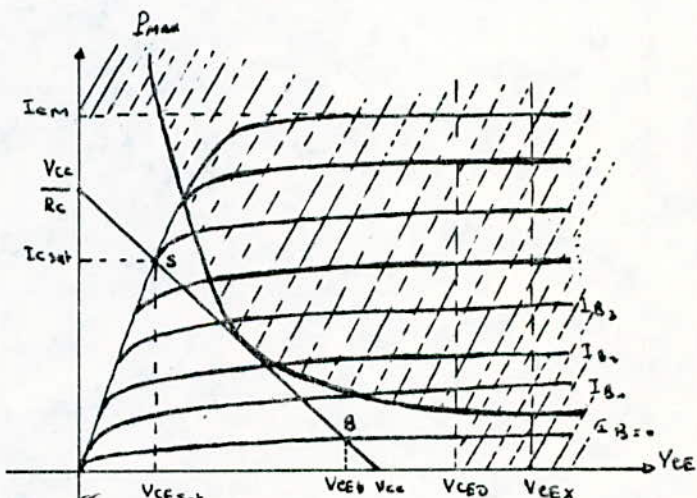
L'énergie dissipée par le transistor :

à l'ouverture :  $W_{off} = \int_0^{t_{off}} V_{ce}(t) \cdot I_c(t) dt.$

$$t_{off} = t_s + t_r$$

à la fermeture :  $W_{on} = \int_0^{t_{on}} V_{ce}(t) \cdot I_c(t) dt.$

$$t_{on} = t_d + t_r$$



\* air de sécurité : partie non active.

avec majoration on peut écrire :

$$W_{off} = V_{CE} \cdot I_C \cdot t_{off}, \quad ; \quad W_{on} = V_{CE} \cdot I_C \cdot t_{on}.$$

on constate que  $W = f(V_{CE}; I_C; t_{on}; t_{off})$ ; un des grandeurs de  $t$  (de l'ordre des  $\mu$ s), les deux paramètres prépondérants qui influent beaucoup sur  $W$  c'est  $V_{CE}$  et  $I_C$ , car la coexistence à un niveau élevé, même la destruction du transistor.

Après de corrigé ce défaut on fait appel aux :

### II.6.2 : Circuits d'aide à la commutation :

Les C.A.L.C sont des dispositifs passifs (résistance, diode, bobine, condensateur,...) qui aident l'enclenchement et le déclenchement du courant  $I_C$  sans endommager le transistor.

Les C.A.L.C sont indispensables pour un transistor fonctionnant en commutation et avec :

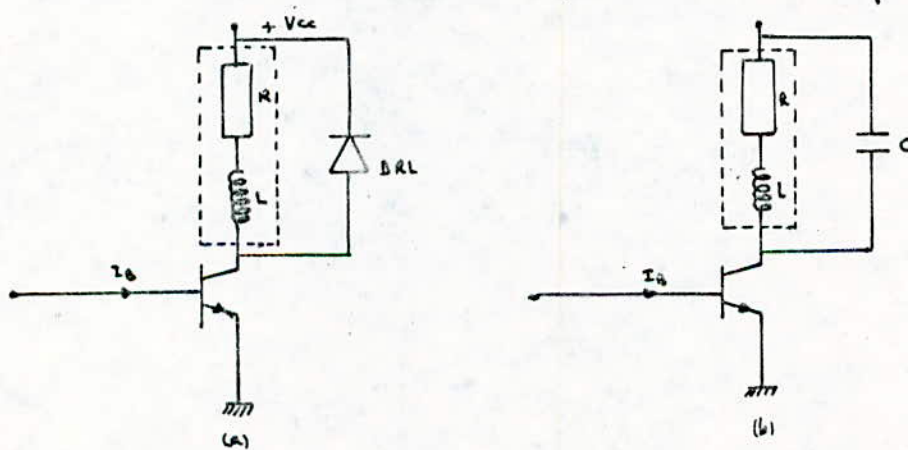
$$V_{CE} > 60V; \quad I_C > 5A.$$

ainsi que pour tout transistor travaillant à une fréquence  $f > 5\text{ kHz}$ .

#### II.6.2.a: Protection contre les mutations:

L'effet inductif de la charge ; fait apparaître - à l'avertie - une mutation aux bornes (émetteur-collecteur) du transistor ; ce qui peut provoquer son éclatement. Pour limiter cet effet on envisage deux méthodes :

- \* Une DRL en anti-parallèle avec la charge.
- \* Un condensateur en parallèle avec la charge.



### II. 6.2. b: Protection contre les surintensités:

\* A l'ouverture (disparition ou inversion du courant  $I_B$ ) ,  $V_{CE}$  tend à augmenter avant que  $I_C$  s'éteigne ; ceci provoque une dissipation importante d'énergie ; la meilleure méthode de protection du transistor c'est la mise en parallèle avec le transistre - d'un condensateur qui se décharge par le biais  $V_{CE}$  (en empêchant la montée d'inverseur) ; en absorbant ainsi une partie du courant  $I_C$ .

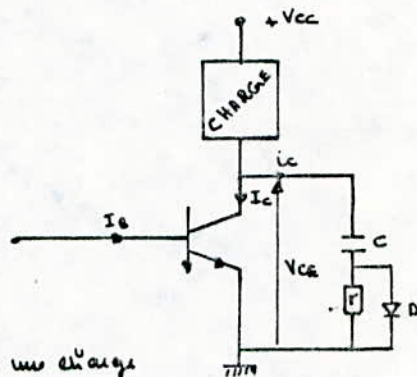
#### Choix de C:

$$I_{Cm} = I_{CM} = C \frac{dV_{CE}}{dt} \approx C \frac{V_{CE}}{t_F}$$

en pratique on choisit  $C t_F$ :

$$2 t_F < t_F < 5 t_F$$

avec  $t_F$  : temps de descente de  $I_C$  - sur une charge inductive -.



#### Choix de r:

r : pour nôtre, la limitation du courant de décharge de C à la fumette.

elle est en clairise  $t_F$ :  $r_C > t_F + t_R = t_{off}$ .

\* 2e méthode ; qui est utilisée surtout pour une charge résistive, où le courant  $I_C$  tend à augmenter avant que  $V_{CE}$  ne s'éteigne ; ce qui provoque un chauffement du transistor. Cette méthode consiste à mettre une self au séri avec la charge.

#### Choix de l:

Dans le cas d'une self mm naturelle :

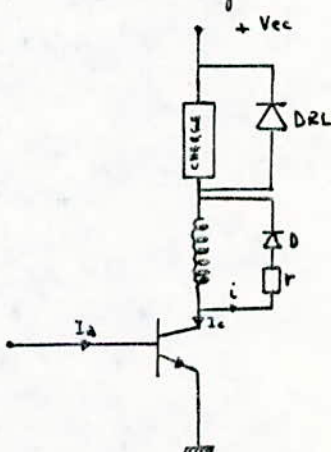
pour  $i = I_M$

$$l \frac{di}{dt} \approx V_{CE} \approx l \frac{I_M}{t_R}$$

on choisit en pratique  $l t_F$ :

$$t_R < t_F < 5 t_R$$

si  $t_R$  : temps de chute de  $V_{CE}$  sur charge inductive.



#### Choix de r:

r: limite le courant dans l lors de l'avertisseur

$$\text{on la choisit } t_F: l/r > t_S + t_F = t_{off}$$

## CHAPITRE III

PARTIE PRATIQUE :

ETUDE

ET

REALISATION

### III.1.COMMUTATION A FAIBLE PUISSANCE

N.B.: Dans notre étude ; le transistor utilisé est de type NPN - 2N2219 dont les caractéristiques sont données en annexe.

#### III.1.1: Mise en commutation du transistor:

Avec le calcul théorique du circuit nous n'avons pas pu mettre le transistor en commutation ; cela peut être dû aux dispersions des caractéristiques du transistor.

La détermination des points de saturation et de blocage a été faite par VOIX expérimentale (essai).

Avec une alimentation potentiométrique (de la base) ; on a obtenu le point de saturation , chose qui nous a permis ensuite de choisir la résistance de base . R<sub>B</sub>.

$$R_B = \frac{R_1 \cdot R_2}{R_1 + R_2} = 470 \text{ }\mu\Omega$$

avec  $R_1 + R_2 = 10 \text{ k}\Omega$ .

$$V_{BESAT} = \frac{V_{cc}}{R_1 + R_2} \cdot R_B = 0,8 \text{ V.}$$

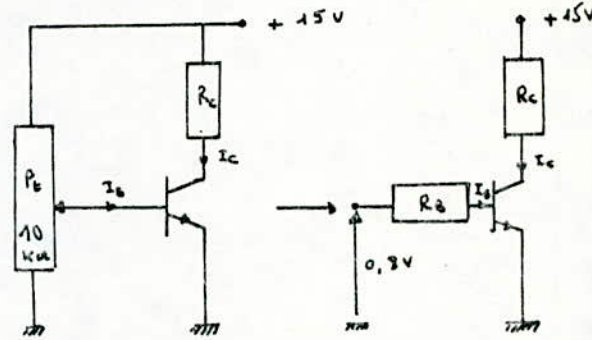
avec  $V_{cc} = +15 \text{ V.}$

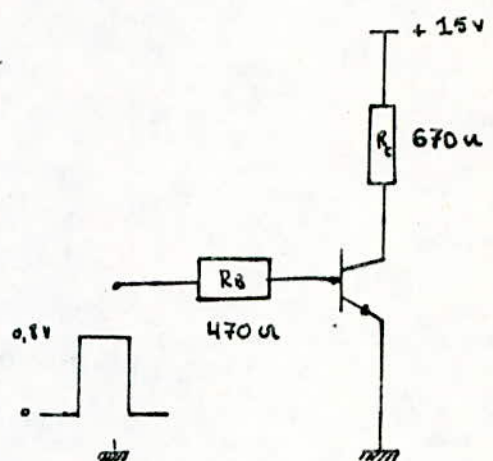
avec cette configuration on a :  $I_{Bsat} = 0,19 \text{ mA}$  ;  $I_{Csat} = 23 \text{ mA}$  pour  $R_C = 670 \text{ }\mu\Omega$ .

avec un courant résiduel :  $I_{CEO} = 40 \text{ }\mu\text{A}$ .

#### III.1.2: Commutation sur charge résistive pure:

En utilisant une alimentation stabilisée (15V - 1A) et un générateur de crêtes-mesures (G.R.F type CRC) ; on a pu constater qu'avec une charge résistive , la tension V<sub>ce</sub> et le courant I<sub>c</sub> suivent parfaitement le signal de commande ; en tenant compte bien sûr des temps de réponse du transistor à très haute fréquence , où le transistor peut se commuté. fig(1)

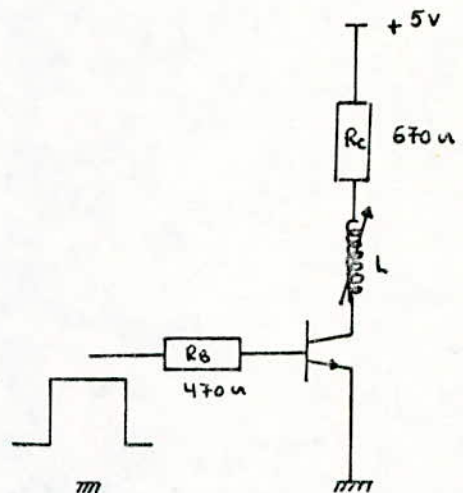
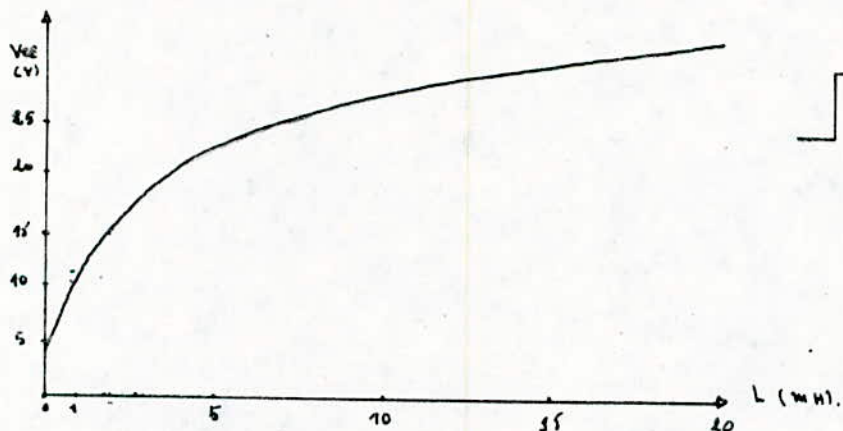




III. 1.3 : Commutation sur charge inductive.  $V_{CC} = +5V$ ;  $f = 50Hz$ .

En faisant varier l'inductance  $L$ ; il y a apparition d'une surtension aux bornes du transistor - au blocage -, au fil et à mesure qu'on augmente  $L$ .

$L(mH)$	0	1	2	3	4	7	8	9	20
$V_{CE}(V)$	4,2	10,2	15	17,5	20	26	28	30	33,5



#### Interprétation des résultats:

L'augmentation de  $V_{CE}$ :  $f(L)$  est due à l'effet d'auto-induction que possède la bobine, qui se traduit par une énergie électromagnétique emmagasinée, et qui se restitue à la coupure du courant qui la traverse; en prélevant une certaine partie pour le courant. L'allure de la variation de  $V_{CE} = f(L)$  peut être expliquée par le fait que la bobine possède

Une certaine résistance, en parallèle à  $R_C$  — en série — fait diminuer le courant  $I_C$ ; d'où atténuation de l'énergie émmagasinée  $W = \frac{1}{2} L I^2$ ; et par conséquent  $V_{CE}$ .

CONCLUSION:

L'effet inductif de la charge, présent pour l'interrupteur statique-transistor ou élétronique, un danger néfaste; ce qui exige la nécessité de prévoir un dispositif pouvant bouffer la surtension.

Remarque:

Au blocage — coupure du courant — on observe une réponse oscillatoire; qu'on peut expliquer par une réponse harmonique d'un circuit  $R, L, C$  où  $C$ : est la capacité proprie du transistor et la capacité répartie de la self.

Voir fig ② et ③

III. 1.4: CIRCUITS D'AIDE A LA COMMUTATION

III. 1.4. A: C.A.L.C à DRL en anti-parallèle avec la charge:

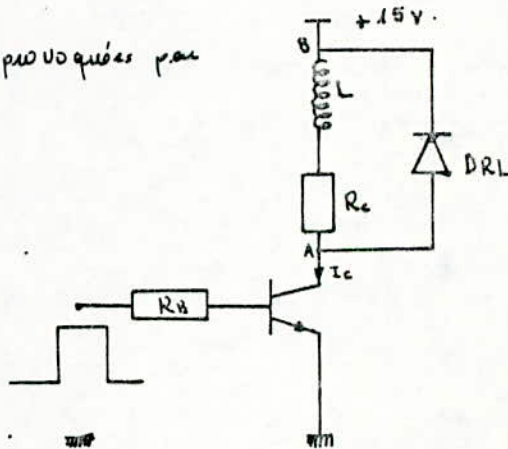
La présence de la DRL, élimine les surtensions provoquées par l'effet inductif de la self. Voir fig 4.

INTERPRÉTATION ET CONCLUSION:

À la saturation le point (A) est à la masse ( $V_A=0$ ); alors que le point B est au potentiel (+15V); au régime établi  $V_B > V_A \Rightarrow$  que la DRL est bloquée.

Au blocage le courant  $I_C$  tend à diminuer; à l'instant même que la self commence à restituer son énergie durant la fermeture; donc le point AB aura au potentiel  $(15 + \Delta V)$  où  $\Delta V$ : la surtension due de la self.

À lors  $V_B > V_A$  et la DRL entre en conduction, en court-circuitant la charge.



D'où l'extinction de la surtension crée par A.

En conclusion, la DRL protège bien le transistor en commutation entre les tensions ; à condition qu'elle soit plus rapide que le transistor.

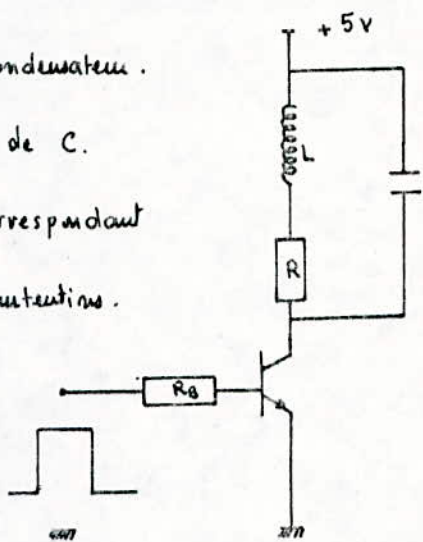
III-1-4.B: C.A.L.C à condensateur non polarisé en parallèle avec la charge:  $f = 50 \text{ Hz}$

Les surtensions subsistent même en présence des condensateurs.

L'élimination des surtensions a lieu après ajustement de C.

A titre d'exemple on a relevé quelques valeurs de C correspondant aux quelques valeurs de L ; attenant l'élimination des surtensions.

L (mH)	2	8	20	40
C (μF)	1	9	30	50



Interprétation des résultats:

À l'ouverture on a la maille R,L,C dont l'équation électrique :

$$V_L + V_C + V_R = 0$$

$$L \frac{di}{dt} + \frac{1}{C} \int i dt + R i = 0 \Rightarrow L \frac{d^2 i}{dt^2} + \frac{i}{C} + R \frac{di}{dt} = 0$$

$$\Rightarrow \frac{d^2 i}{dt^2} + \frac{1}{LC} i + \frac{R}{L} \frac{di}{dt} = 0 \Rightarrow \frac{d^2 i}{dt^2} + \frac{R}{L} \frac{di}{dt} + \frac{1}{LC} i = 0 \quad (1)$$

si on pose  $\frac{R}{L} = 2\delta$ ;  $\frac{1}{LC} = \omega_0^2$  où  $\omega_0$  : la pulsation propre du circuit.

$$\text{on aura: (1)} \Leftrightarrow \frac{d^2 i}{dt^2} + 2\delta \frac{di}{dt} + \omega_0^2 i = 0. \quad \text{E.O.S.O. (2)}$$

L'équation caractéristique :

$$\lambda^2 + 2\delta\lambda + \omega_0^2 = 0.$$

La solution générale de (2) est de la forme:  $i(t) = C_1 e^{\lambda_1 t} + C_2 e^{\lambda_2 t}$ .

$$\text{où } \lambda_1, \lambda_2 = -\delta \pm \sqrt{\delta^2 - \omega_0^2}$$

pour  $C_1 = 0$     $\omega_0 \gg \delta$  alors  $\lambda_{1,2} = -\delta \pm j\omega_0$

d'où  $i(t) = A e^{-\delta t} \sin(\omega_0 t + \varphi)$  avec  $A, \varphi$  : des constantes à déterminer.

$\omega = \omega_0^2 - \delta^2$ . : La pulsation d'oscillation du système.

$$V_L = L \frac{di}{dt} = -A\delta e^{-\delta t} \sin(\omega t + \varphi) + A\omega e^{-\delta t} \cos(\omega t + \varphi) \quad (1).$$

Si on prend comme condition initiale:  $t=0$  où  $i(0)=0 \Rightarrow \varphi=0$

dans (1)  $\Rightarrow V_L = -A\delta e^{-\delta t} \sin \omega t + A\omega e^{-\delta t} \cos \omega t$ .

L'ajustement de C. fait varier  $\omega = \omega_0^2 - \delta^2$ ; au moment où  $\omega_0 = \delta \Rightarrow \omega = 0$

on aura:  $V_L(t) = -A\delta e^{-\delta t} \sin \omega t + A\omega e^{-\delta t} \cos \omega t = 0$ .

d'où la suppression de l'inductance et de son effet.

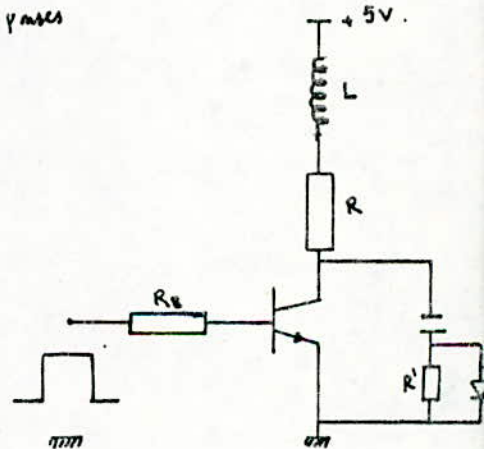
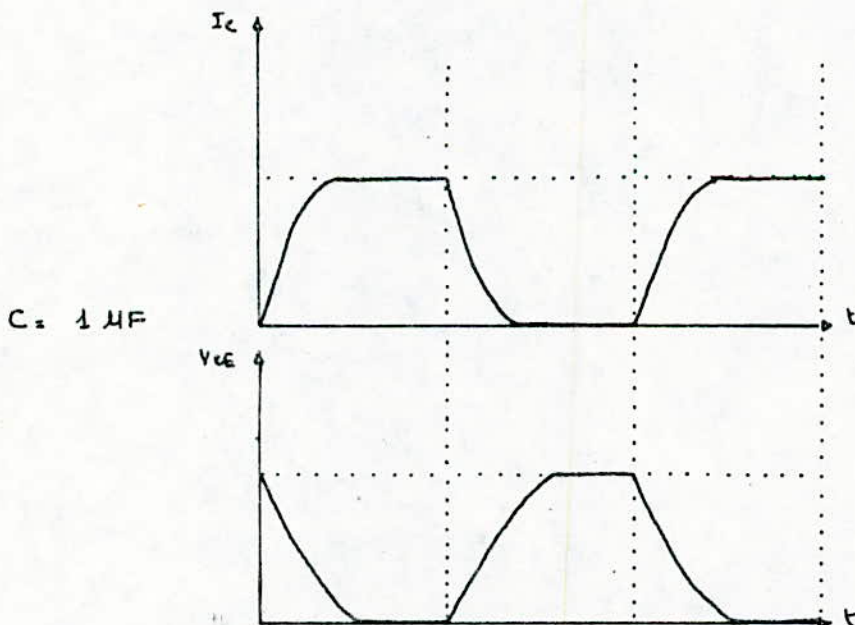
#### Conclusion:

Le C.A.L.C n'est pas aussi important que celui de la D.R.L; du fait qu'il exige une étude bien précisée de la charge pour savoir la valeur de C et par la suite éliminer le condensateur correspondant.

#### III - 1.4.C: C.A.L.C à Condensateur en parallèle avec le transistor:

à la fréquence  $f = 50 \text{ Hz}$  on a relevé les courbes:

suivantes:



Interprétation des résultats:

au blocage, le condensateur C se charge à travers  $R'$ , par la tension  $V_{CE}$  avec un  $\tau = R' \cdot C$ , en extirrant la tension (surtension) due à la self.

En se chargeant il fait diminuer un courant  $I_C$ , ce qui entraîne un prolongement de  $I_C$  et un amortissement de  $V_{CE}$ .

Plus la capacité augmente plus  $\tau = R' \cdot C$  augmente ; d'où l'affaiblissement de la raideur du front de montée de la tension, et de descente du courant, un phénomène de produit de saturation. ; On a remarqué aussi qu'à part de  $C = 4 \mu F$  ; le transistor n'est plus en commutation ; du fait que  $\tau > T = \frac{1}{f}$ .

Conclusion:

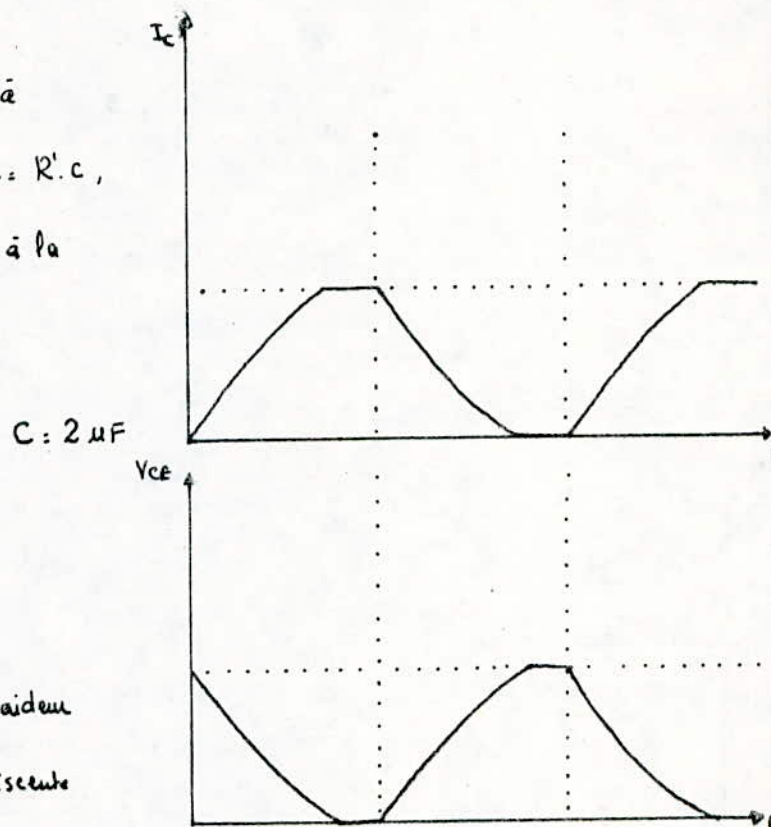
Le type de C.A.L.C possède des avantages, ainsi que des inconvénients:

Avantages:

- . Il fait augmenter les temps de réponse au tournage et en courant ; par conséquent les pertes à l'ouverture et à la fermeture diminuent.
- . Il assure une commutation parfaite pour un commutateur alternatif, tâche que peut pas assurer la D.R.L.

Inconvénients:

- . Il limite la gamme de fréquence  $f_T$  (fréquence de transition).
- . Augmente les temps de réponse.
- . Surcharge le transistor à la fermeture.



commutation sur charge résistive pure.

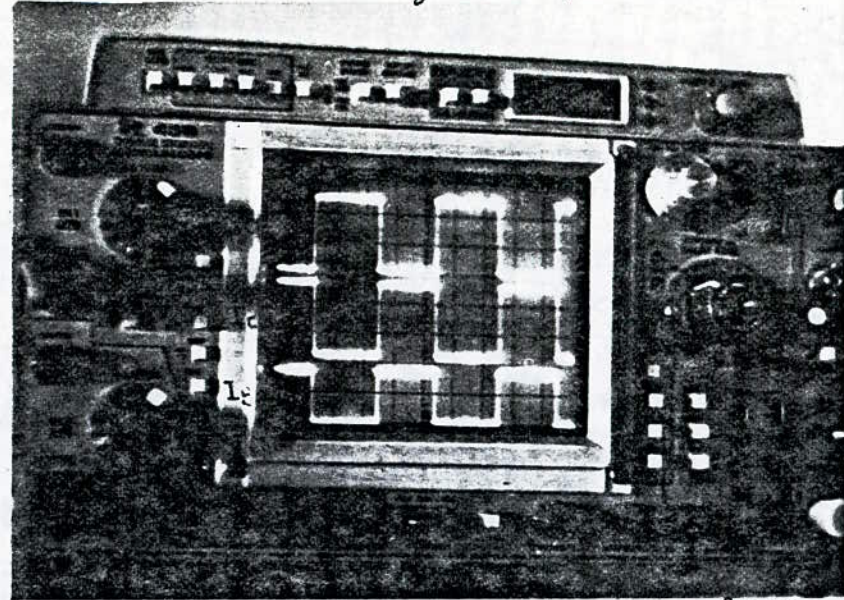


fig (1)

Ic, Vee pour L = 0,6 mH dans C.A.L.C.

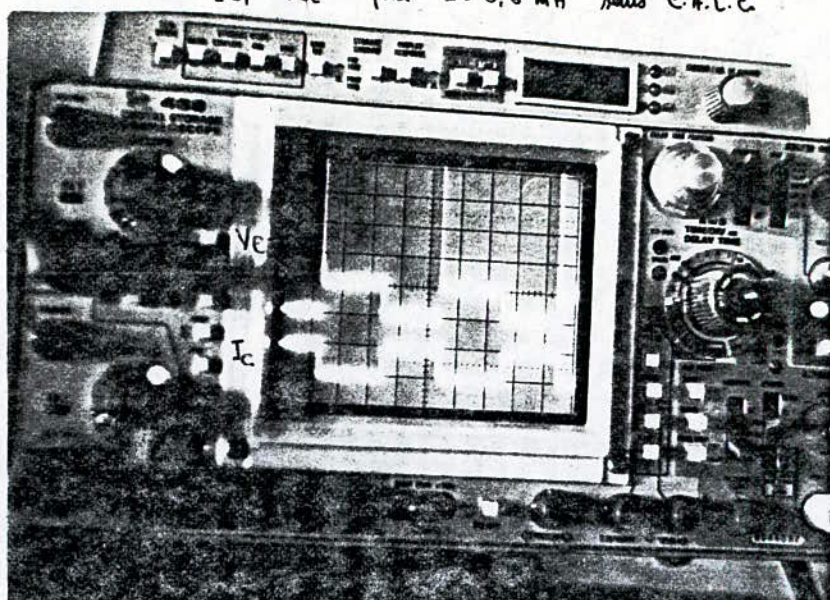


fig (2)

commutation sur charge R,L avec DAL. L=90mH.

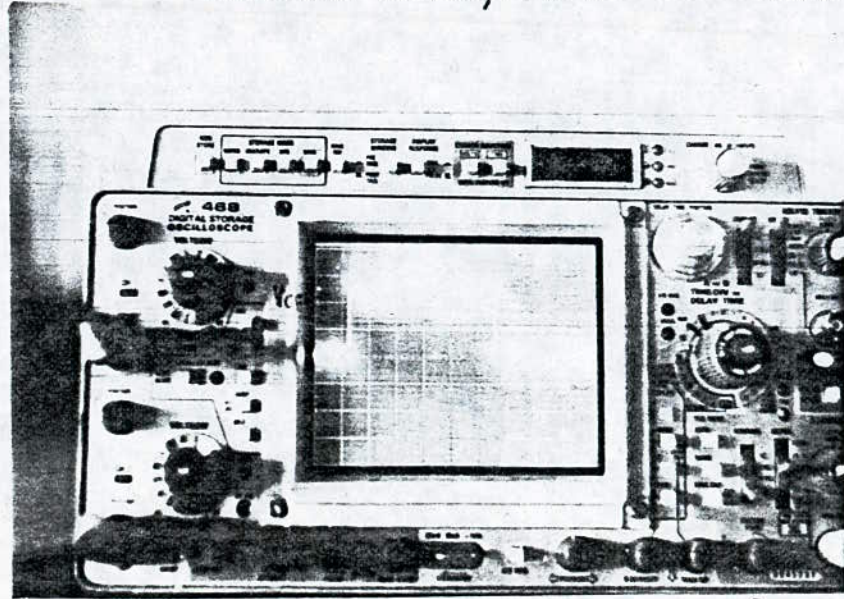


fig (3)

Prise agrandie de Vee sur charge R,L dans C.A.L.C

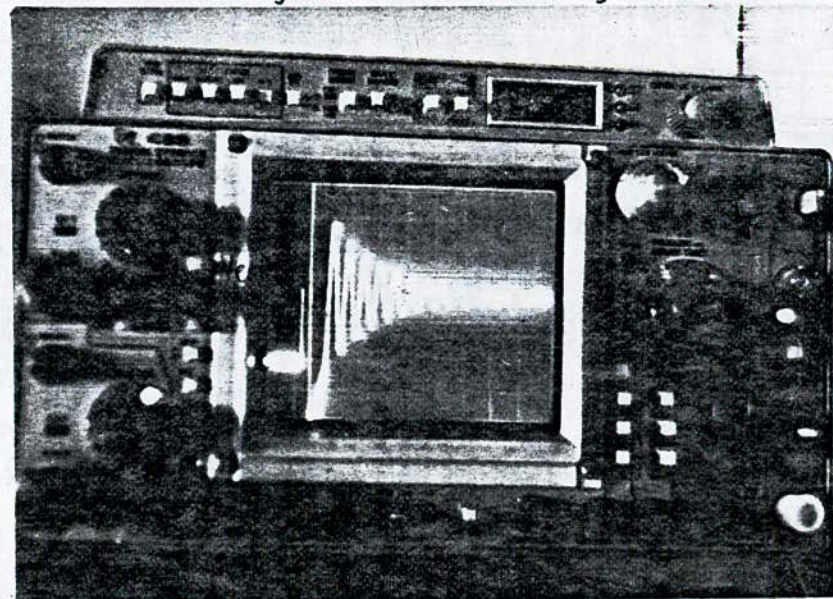


fig (4)

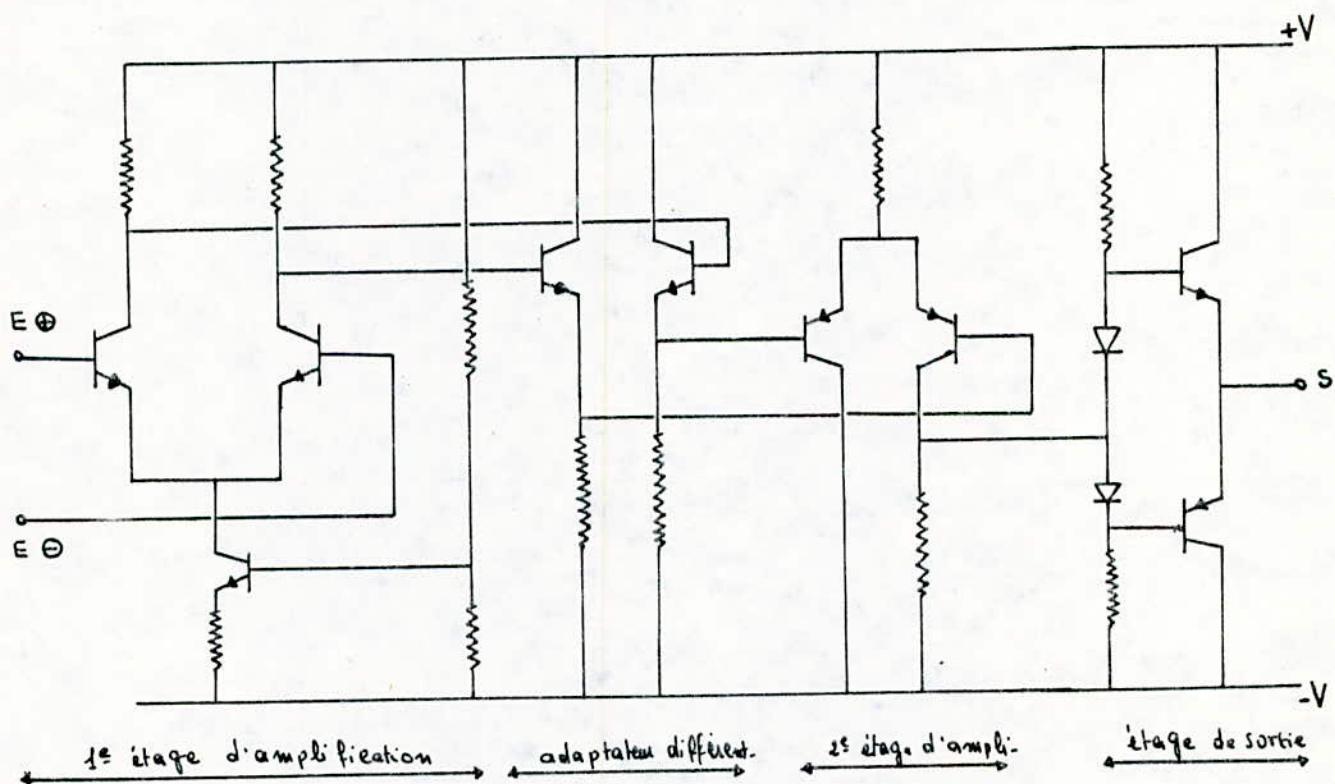
### III.2.COMMUTATEUR DE PUISSANCE -étude et réalisation -

#### III.2.1: Rappel sur les amplificateurs opérationnels:

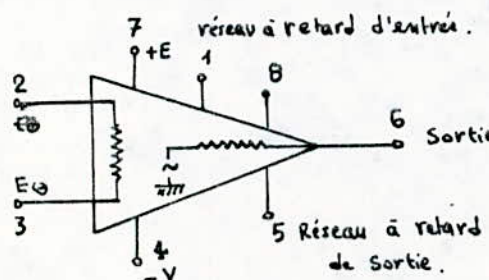
a) Déf: un amplificateur opérationnel ; est un amplificateur à courant continu, caractérisé par :

- \* Gain en tension élevé.
- \* Large bande de fréquence : de 0 Hz à 1 MHz.
- \* Gain en tension ajustable.

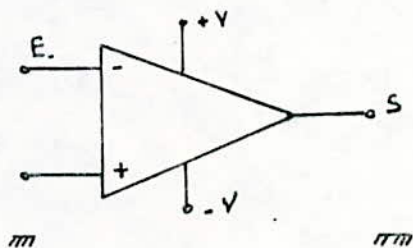
#### b) Conception classique - simple - d'un ampli - op:



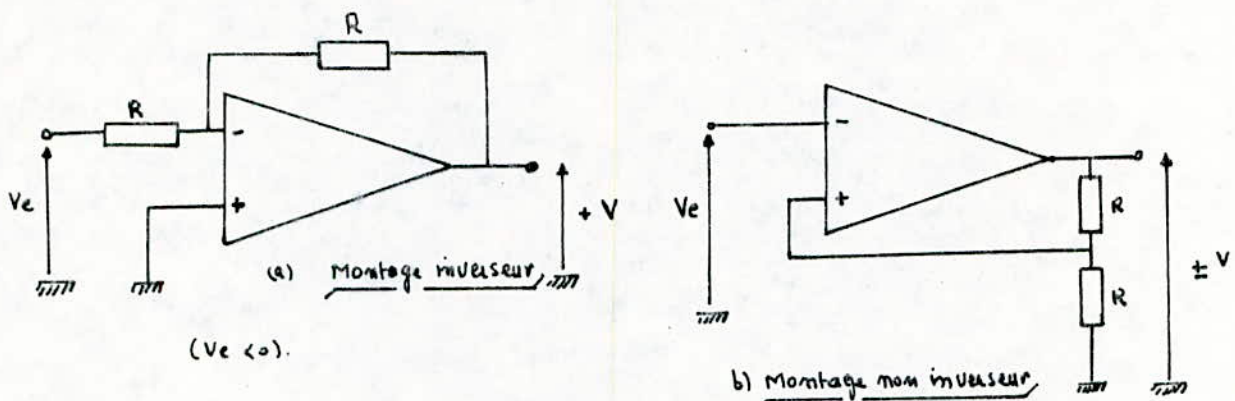
#### c) Représentation symbolique pratique:



#### Représentation simplifiée:



Les deux montages de base d'un amplificateur opérationnel:



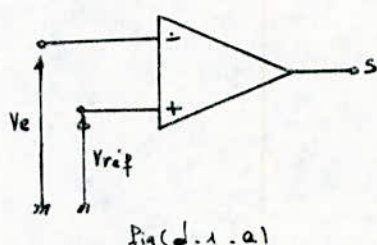
d) Fonctions principales d'un amplificateur opérationnel:

L'ampli-op peut être exploité en comparaison aussi qu'en amplification.

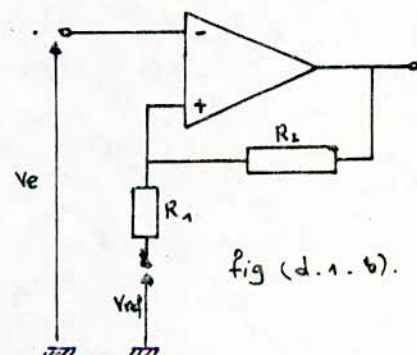
d.1: ampli-op: Comparateur:

Un comparateur est un organe analogique; qui on peut le réaliser à partir d'un ampli-op; sur les deux entrées on applique deux tensions, l'une dite de référence - de comparaison - et l'autre la tension à comparer; la sortie passe entre les deux niveaux d'alimentation de l'ampli.  $+V$ ;  $-V$ .  
 On distingue deux types de comparateurs:

- Comparateur à boucle ouverte.
- Comparateur à réaction positive. (TRIGGER DE SCHMITT).

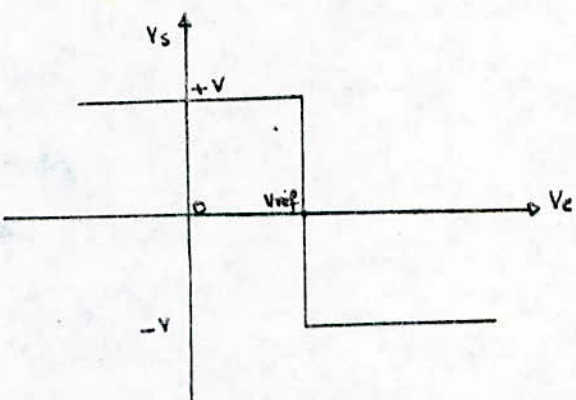
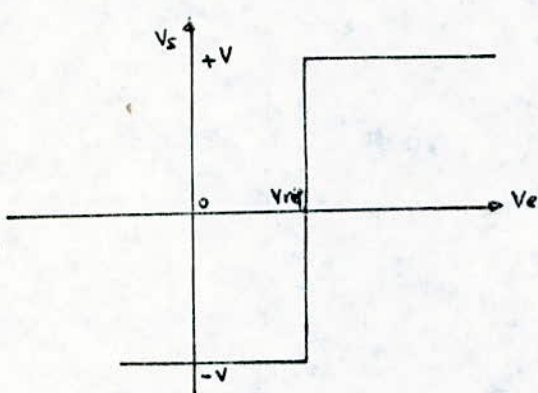


- Comparateur à boucle ouverte -

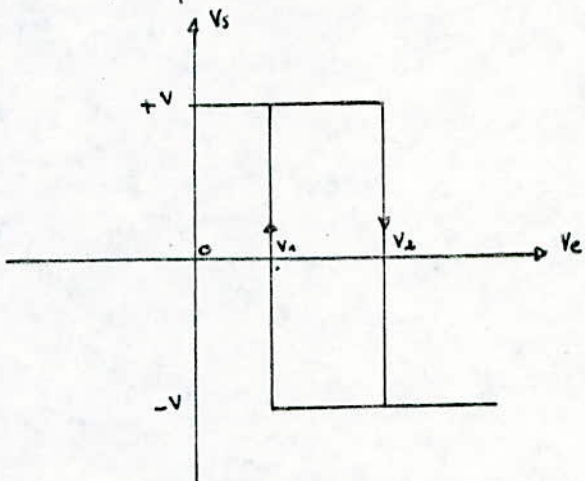
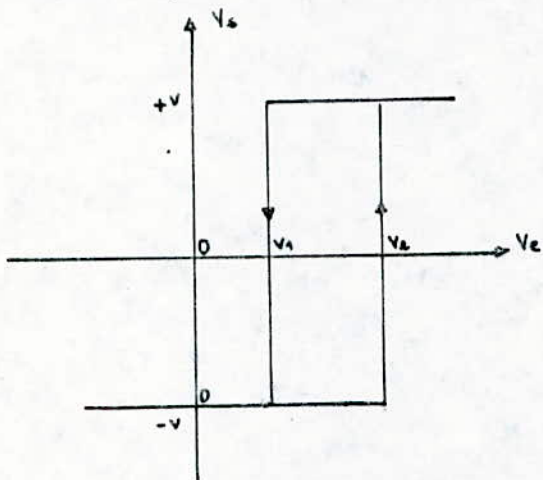


- Comparateur à réaction positive -

Caractéristiques de transfert d'un comparateur:



Comparateur n-inverseur → à boucle ouverte → Comparateur inverseur.



(Comparateur n-inverseur) → à réaction positive → Comparateur - inverseur).

N.B.: \*  $V_1, V_2$ : s'appellent les tensions de seuil du comparateur.

\* Dans nos figures présentées ci-dessus, nous n'avons pas tenu compte des temps de résolution et de commutation du comparateur.

\* On note aussi  $+V = V_{sat}^+$ ;  $-V = V_{sat}^-$ ;  $V_+ = V^+$ ;  $V_- = V^-$ .

\* En utilisant la figure (d.1.b) on peut déduire que:

$$V_2 = V^+ = \frac{R_1}{R_1 + R_2} V_{sat}^+ + \frac{R_2}{R_1 + R_2} V_{ref}.$$

$$V_1 = V^- = \frac{R_1}{R_1 + R_2} V_{sat}^- + \frac{R_2}{R_1 + R_2} V_{ref}.$$

\* L'aire délimitée par  $V_1, V_2$  et  $+V, -V$  s'appelle hystérésis du comparateur.

\* Le comparateur -T-de schmitt- peut être utilisé pour le décalage des signaux.

d.2 : Ampli. op : Amplificateur:

d.2.1: Intégration:

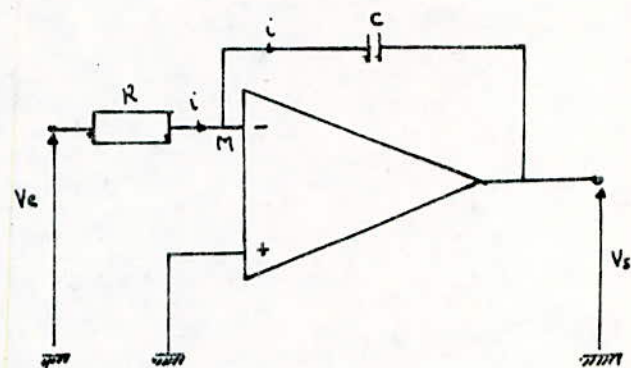
$$V_C = \frac{1}{C} \int_0^t i dt.$$

Comme le point M est un point virtuel de masse.

$$i = \frac{V_e}{R}$$

$$V_s = -V_C \Rightarrow V_s = -\frac{1}{C} \int_0^t \frac{V_e}{R} dt \\ = -\frac{1}{RC} \int_0^t V_e dt.$$

pour :  $V_e = E \Rightarrow V_s = \frac{E}{RC} t$  c'est une droite de pent :  $-\frac{E}{RC}$ .



— schéma de principe —

N.B.:

$t$ : c'est le temps de conduite - charge - du condensateur  $C$ ; qui est en pratique limité par un dispositif commandant la décharge du condensateur.  
ex: transistor.

d.2.2: Défferentiation:

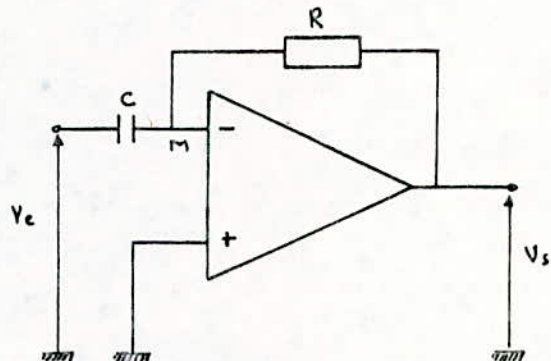
$$i = \frac{V_m - V_s}{R}; V_m \neq 0$$

$$\Rightarrow i = -\frac{V_s}{R} \Rightarrow V_s = -Ri.$$

d'autre part:  $i = C \frac{dV_c}{dt}$ .

avec:  $V_c = V_e - V_m \approx V_e$ .

alors:  $V_s = -RC \frac{dV_e}{dt}$



— schéma de principe —

Si:  $V_e = E \Rightarrow V_s = 0$ .

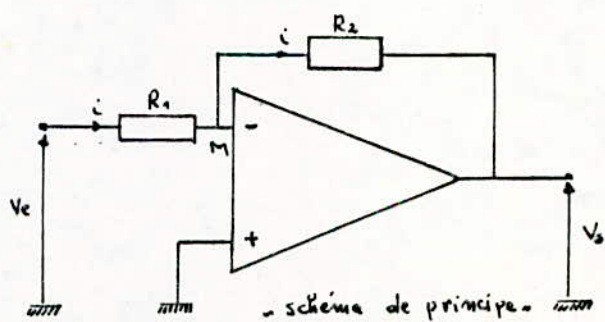
d.2.3: Proportionnalité:

$$V_s = -R_2 i$$

$$i = \frac{V_e}{R_1} \Rightarrow$$

$$V_s = -\frac{R_2}{R_1} V_e$$

Pour  $R_2 = R_1$  l'ampli-op devient inverseur



— schéma de principe —

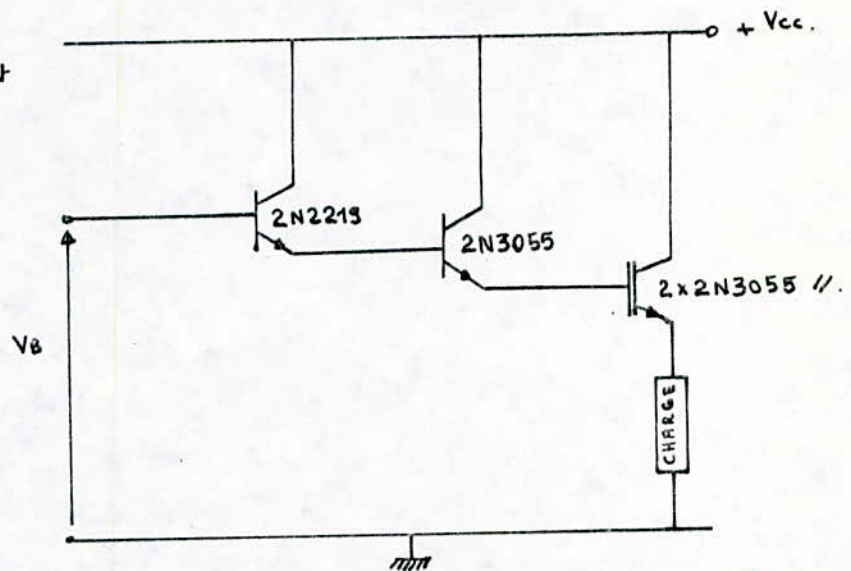
### III.2.2 ESSAIS ET RÉALISATIONS:

La charge de notre commutateur est caractérisée par :

$$V_{CC} \leq 40 \text{ V} ; 0 \leq I_C \leq 10 \text{ A.}$$

Vu les caractéristiques des transistors utilisés dans notre travail : 2N2219 et 2N3055, on a proposé d'utiliser la cellule de commutation suivante :

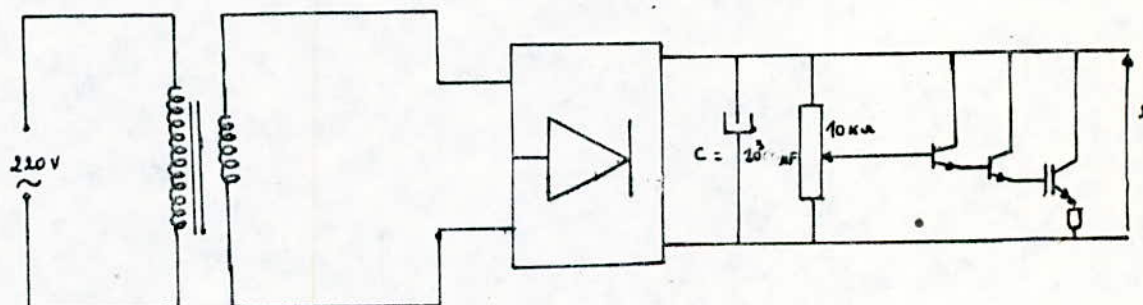
La mise en fonctionnement de cette cellule de commutation; nous a pris beaucoup de temps; car la conception théorique nous a pas abouti au aucun résultat



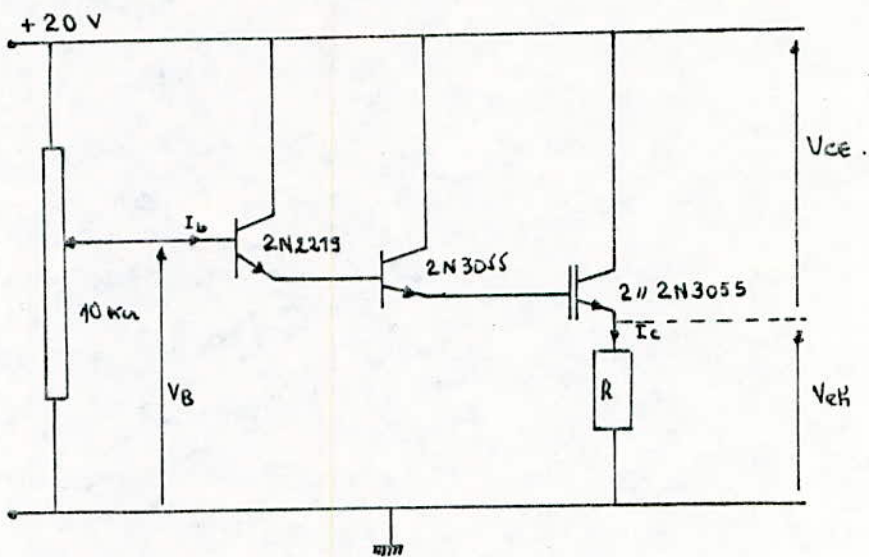
satisfaisant; facteur qui nous a guidé à faire le chemin expérimental.

#### III.2.3 Recherche du point de saturation:

De nombreux essais ont été effectués; pour déterminer le point de saturation de la cellule; tout d'abord on a utilisé une alimentation de 24 V.



de ce montage - (Alimentation) on a abouti au résultat suivant; la nécessité d'avoir une source de puissance satisfaisante; dira l'idée d'utiliser le continu variable du Laboratoire - machine.



D'où on a relevé les mesures suivantes :

$I_b$ (mA)	0	0,5	0,5	1,0	1,5	2,5	3,5	5,5	7,5	9	11	16	20	27	45
$I_c$ (A)	0,1	1	2	3	4	5	6	7	8	9	10	11	12	13	13,6
$V_B$ (V)	0	2,7	3,6	4,5	5,5	7,2	8,3	9,9	11	11,75	13	14	15,25	17	17,5
$V_{eh}$ (V)	0,6	1	2,5	3,5	5	6	7	9	10	11	12,5	14	14,5	16,5	17
$V_{ce}$ (V)	19,4	19	17,5	16,5	15	14	13	11	10	9	7,5	6	5,5	3,5	3

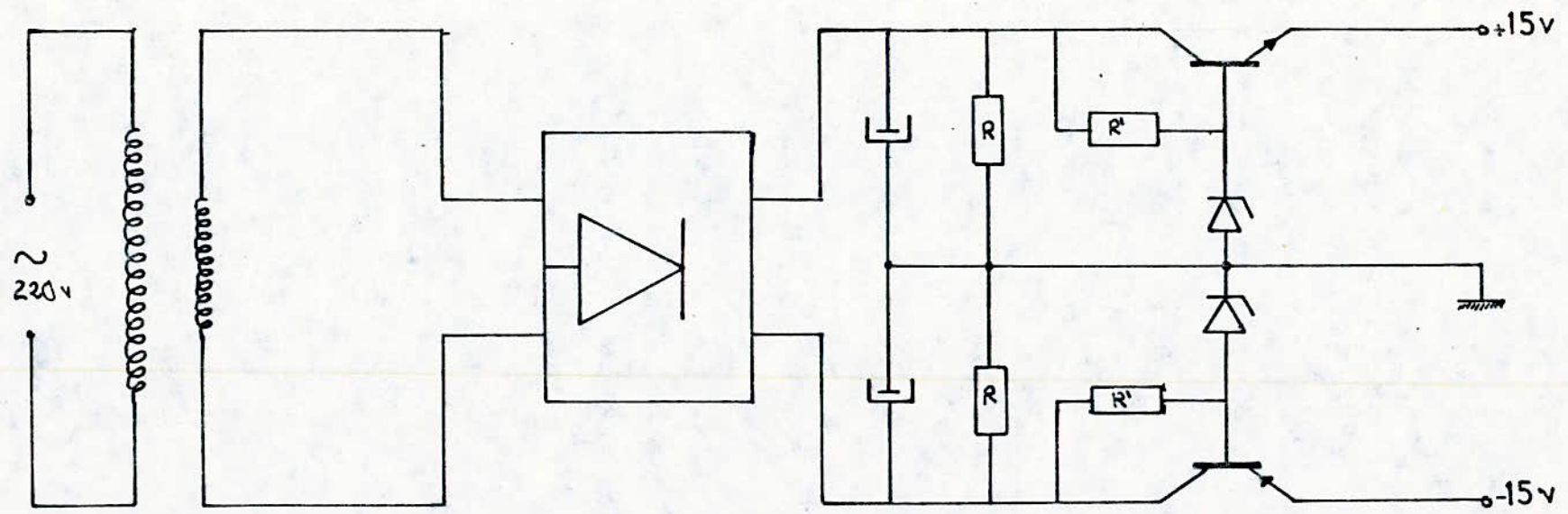
#### Constatation:

La saturation du transist. EN3055 a eu lieu pour un courant de commande (de bâti) de  $I_b = 45\text{mA}$ ; en débutant un courant de charge  $I_{c\text{sat}} = 13,6\text{A}$ .

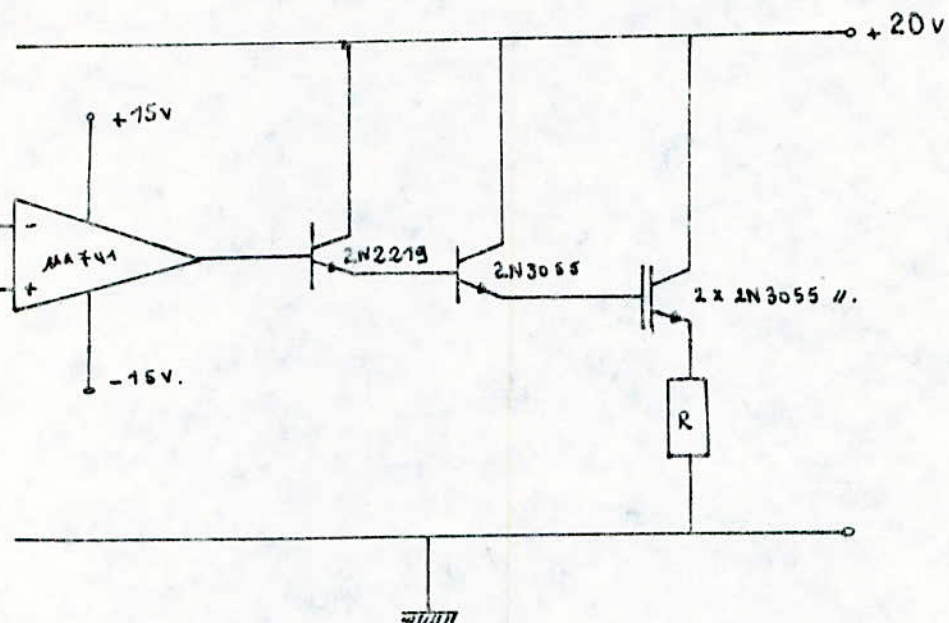
Avec  $V_{esat} = 3\text{V}$

#### Interprétation des résultats:

L'utilisation du variab. continu comme source d'alimentation pour moteur commutateur, dans le but de situer le point de saturation, nous a donné une idée sur la tension de commande de bâti, qui est de l'ordre de 17,5V.; pour  $I_b = 45\text{mA}$ . Dans les limites de nos exigences " $I_c \leq 10\text{A}$ "; l'utilisation d'un UAT41 me parait un moyen suffisant pour la mise en fonctionnement du commutateur; d'où le montage suivant:



—> alimentation stabilisée pour sortie symétrique  $\pm 15V$  —



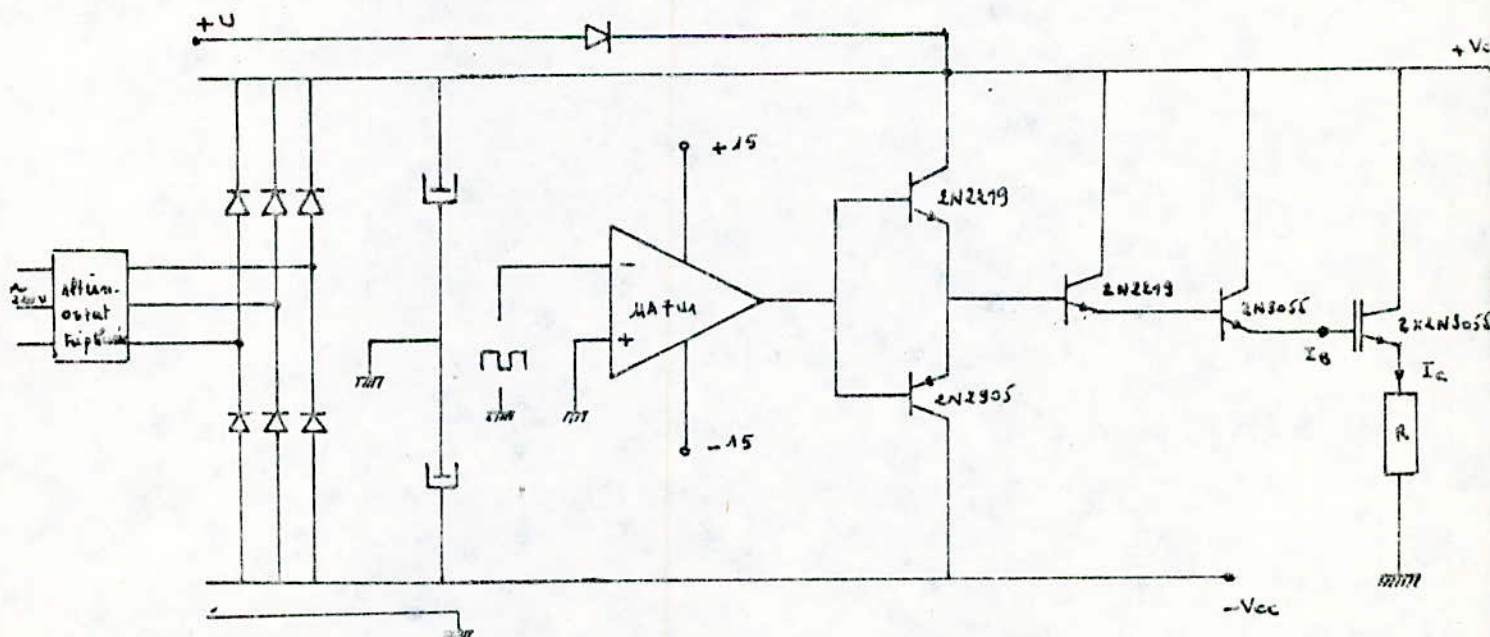
Réultat:

avec cette alimentation ; dès qu'on augmente la charge ; on observe une chute de tension importante au niveau de l'alimentation , alors la cellule perd sa fonction de commutation.

Interprétation et conclusion:

La chute importante de la tension d'alimentation est due à la résistance interne de la génératrice ; qui est trop élevée tenant compte du point de fonctionnement.

D'où la nécessité d'une source plus puissante ; pour cela on a eu l'idée d'utiliser l'alimentation suivante ; avec une commande de base en Push-pull ; pour améliorer mieux la fonction et le blocage :



Avec cette alimentation le commutateur fonctionne parfaitement ; mais dès qu'on augmente la charge, il y a appariement d'oscillation dans la forme de la tension ; problème qui a été résolu par la suppression d'une tension continue de valeur  $U > V_{cc}$ .

III. 2.2.2: Mesure du temps de réponse du commutateur, à  $V_{cc} = +20V$  ;  $f = 50Hz$ .  
et des variations en fonction de la charge.

$t_d (\mu s)$	50	10	80	100
$t_r (\mu s)$	350	180	300	300
$t_s (\mu s)$	60	40	100	50
$t_f (\mu s)$	320	260	300	300
$t_{on} (\mu s)$	400	180	380	400
$t_{off} (\mu s)$	380	300	400	390
$I_c (A)$	2	5	8	10
$I_B (A)$	0.02	0.0875	0.235	0.415

Interprétation et conclusion:

La non régularité des valeurs relevées ; qui est dû probablement au problème de lecture des différents temps ; à l'aide de l'oscilloscope ; mais empêche de tirer une conclusion sûre.

La seule , qui on peut tirer de ce tableau ; c'est que les temps de réponse de notre commutateur sont un peu longs ; chose qui me paraît raisonnable ; si on tient compte des temps de réponse des différents étages ; aussi et du transistor 2N3055 qui n'est pas un transistor de commutation.

III. 2.2.3 Minimisation des temps de réponse:

Afin de minimiser le temps de réponse , on a procédé par l'injection d'un courant de bâton - du dernier étage - sous forme d'impulsion , pour cela on a utilisé le montage suivant :

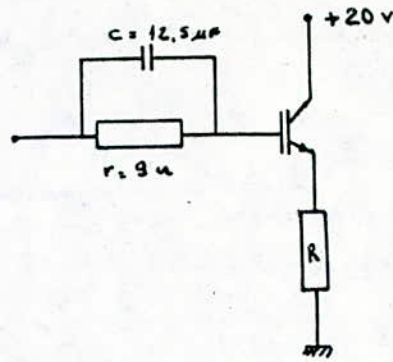
Résultats obtenus:

A la fréquence  $f = 50 \text{ Hz}$ ;  $V_{cc} = +20 \text{ V}$ .  
 $I_c = 5 \text{ A}$ .

on a relevé les valeurs suivantes:

$$\left. \begin{array}{l} t_d = 6 \mu\text{s} \\ t_r = 52 \mu\text{s} \end{array} \right\} \Rightarrow t_{on} = 58 \mu\text{s}$$

$$\left. \begin{array}{l} t_s = 20 \mu\text{s} \\ t_f = 40 \mu\text{s} \end{array} \right\} \Rightarrow t_{off} = 60 \mu\text{s}.$$



L'amélioration des temps de réponse; a lieu suite l'ajout de la tension de saturation  $V_{ce}$  qui on a peu pu diminuer.

III. 2.2.4 : Variation de  $V_{CEsat} = f(I_c)$ :

$I_c (\text{A})$	1.5	2	5	7	8	10
$V_{CEsat} (\text{V})$	7.8	7.8	7.85	7.85	7.85	7.85

Conclusion:

La tension de saturation varie peu

avec une large variation de  $I_c$ .

III. 2.2.5 : Influence de la fréquence du signal de base sur les temps de réponse:

à  $V_{cc} = +20 \text{ V}$ ;  $I_c = 4 \text{ A}$ .

on a relevé les valeurs suivantes:

$f (\text{Hz})$	5	10	20	30	40	50
$t_d (\mu\text{s})$	50	50	50	50	50	50
$t_r (\mu\text{s})$	300	350	300	350	350	350
$t_s (\mu\text{s})$	50	60	50	50	50	50
$t_f (\mu\text{s})$	350	350	350	350	350	350
$t_{on} (\mu\text{s})$	350	400	350	400	400	400
$t_{off} (\mu\text{s})$	400	410	400	400	400	400

Conclusion:

La fréquence du signal de commande n'influe pas sur les temps de réponse d'un transistor commutateur; du fait que les temps de réponse dépendent surtout des capacités propres

Conclusion:

La variation de la fréquence de commande n'agit pas sur les temps de réponse du commutateur ; ceci est valable dans le domaine de faibles fréquences "cas de notre projet".

III. 2.2.6: Commutation sur charge R,L:

La présence de la self fait apparaître - comme de cas de faible puissance déjà étudié - des surtensions à l'ouverture ; qu'on a éliminée en utilisant une D.R.L.

A titre indicatif on a relevé les mesures suivantes à  $V_{cc} = +20V$ :

$f$ (Hz)	20	50	100	500
$I_c$ (A)	4	3	2	0,4
$V_{ce}$ (V)	31,5	32,55	33,6	35

$$L = 1 \text{ mH}$$

$f$ (Hz)	20	50	100	500
$I_c$ (A)	4	3	2	0,21
$V_{ce}$ (V)	30,75	31,75	33,55	35

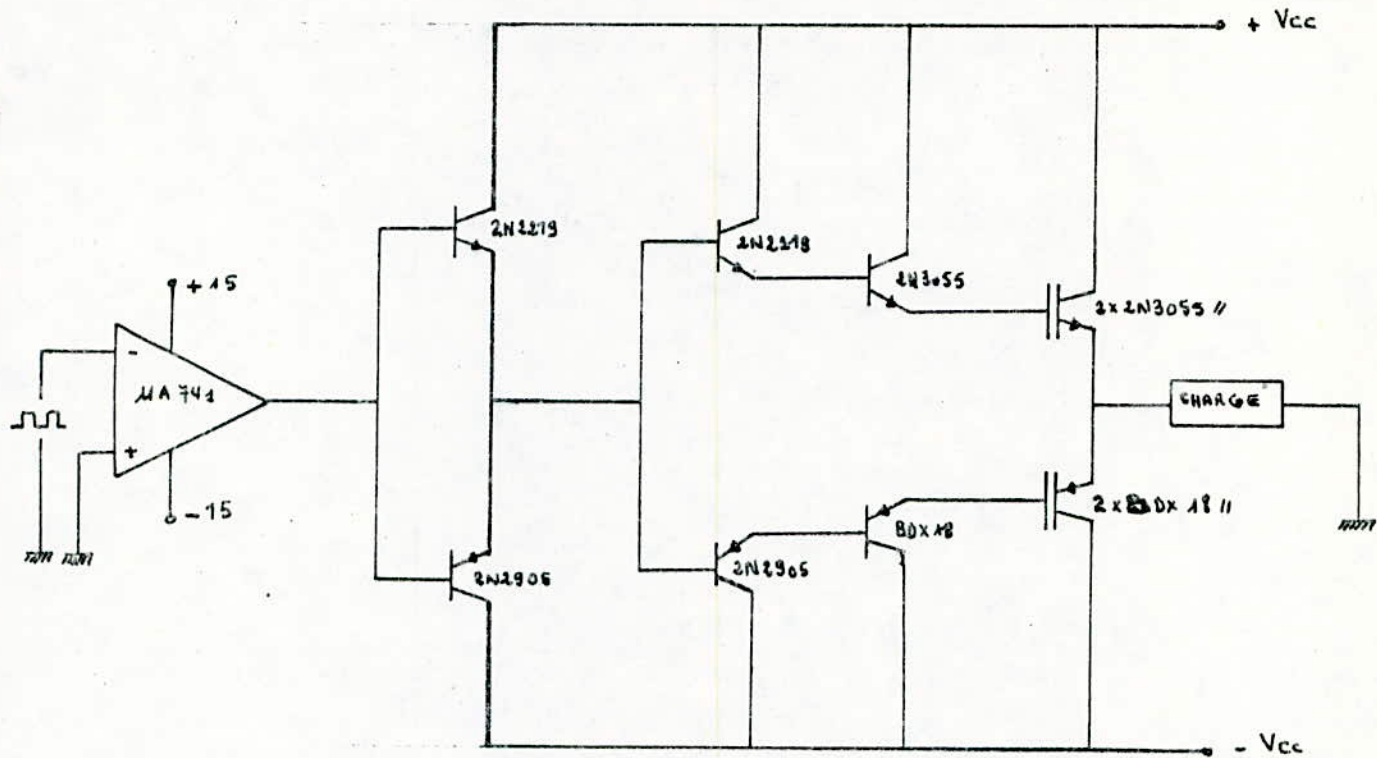
$$L = 10 \text{ mH}$$

III. 2.2.7: Commutateur bidirectionnel - Alternative:

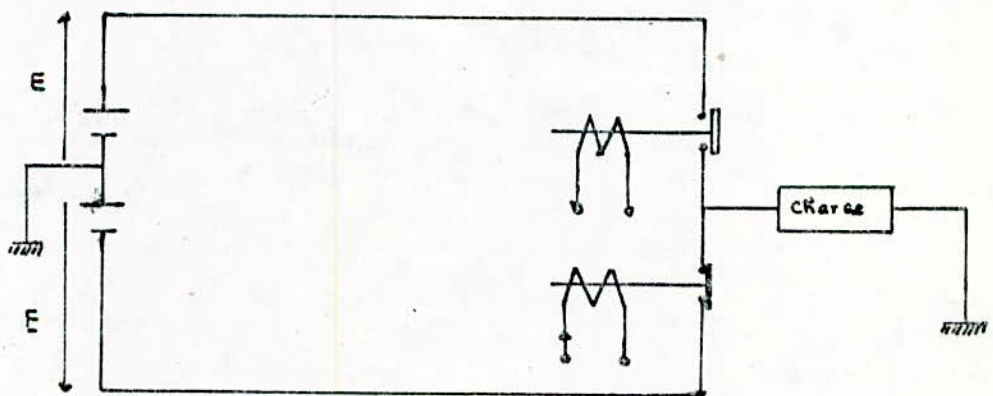
A partir d'un commutateur unidirectionnel ; la mise en place d'un commutateur alternatif est une tâche assez simple ; on associe un autre cellule complémentaire au première , en montage PNP-PNP:

En utilisant deux autres types de transistors: (PNP)

2N2905, complément 2N2219.  
BDX18, complément 2N3055



### Montage pratique du commutateur alternatif.

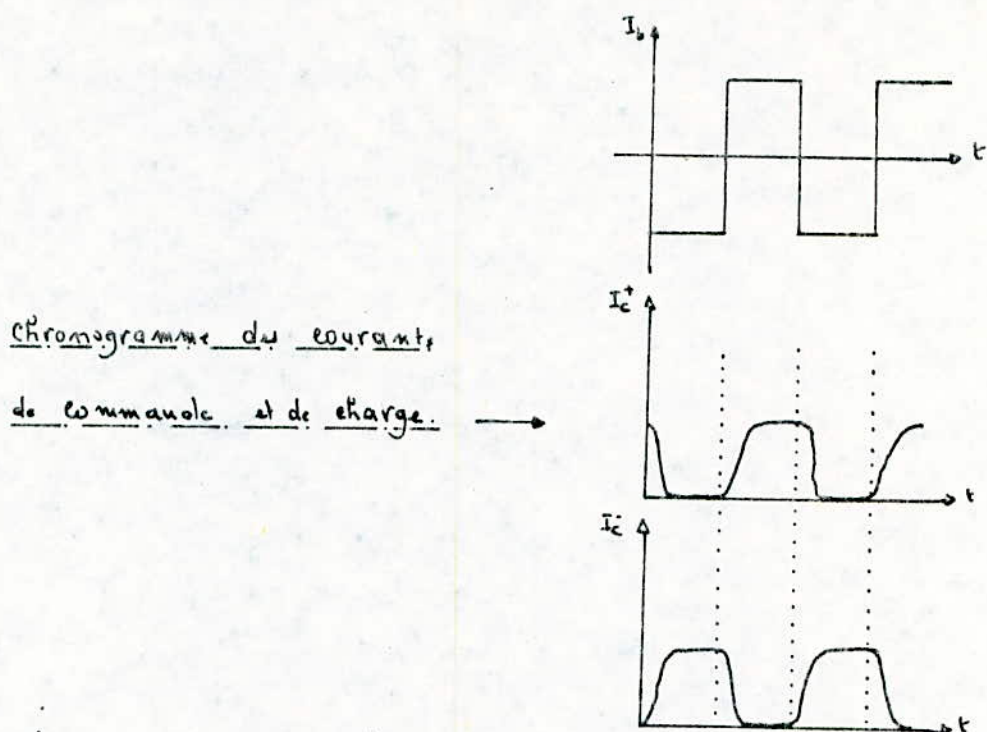


## schéma électrique équivalent

Le problème majeur qui peut se poser dans le type de commutateur c'est le cas de court-circuit ; dans le cas de la fermeture instantanée des deux contacts.

- interceptum -

Les temps de répit qui ne sont pas nuls mettent la commutatrice à l'abri du court-circuit au sens fort du terme.



A signaler, au patient, que l'utilisation d'une

D.R.L comme C.A.L.C est une protection à écartez; du fait que la charge est tout le temps en court-circuit; d'où l'utilisation d'un condensateur en parallèle avec chaque une des deux cellules recommandé.

### III. 2.2.8 : Commutateur triphasé:

En se basant sur le principe du commutateur alternatif; la réalisation d'un commutateur triphasé, n'est qu'un assemblage de trois cellules monophases identiques, décalée l'une de l'autre, dans le temps d'un  $\frac{1}{3}T$ .

Le problème qui se pose - comme on verra par la suite - c'est la mise au point du circuit de commande assurant le déphasage désiré.

#### -8-a- Utilité du commutateur triphasé:

Le commutateur triphasé en question est destiné pour faire fonctionner un moteur synchrone de faible puissance.

#### -8-b: Commande du commutateur:

En plus des circuits de commande de base pour chaque commutateur monophasé ; le commutateur triphasé exige d'autres circuits de commande dont la tâche est d'atteindre deux objectifs :

A - Le déphasage  $\frac{1}{3}T$ .

B - L'asservissement du déphasage à la fréquence du signal de commande de base.

### A. Le déphaseur:

Est une cellule qui a pour but de faire décaler "les signaux issus" le fonctionnement des trois commutateurs monophasés de  $T/3$  chacun de l'autre.

Pour cela on a procédé par l'utilisation de trois -biggers de schmitt- qui nous ont débouché sur l'inconvénient qu'on peut pas dépasser un déphasage de  $T/2$  avec. Alors on a passé à l'utilisation des UA 741 -sans réaction- dans leurs différentes fonctions.

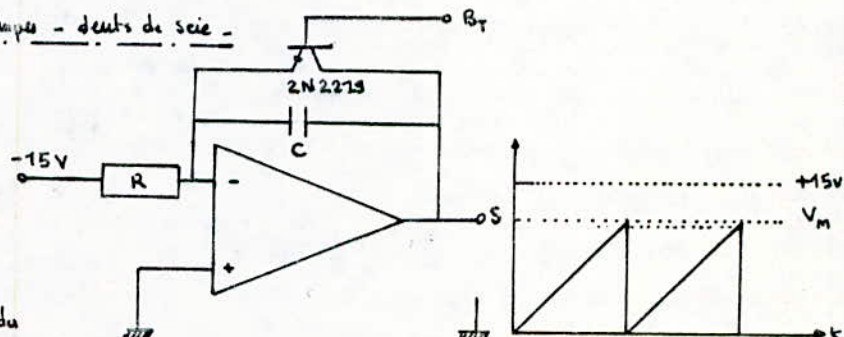
#### A.1: Etape et principes:

##### a) générateur de rampes - deuts de scie -

choix de R et C:

Le calcul de R,C a été fait

en fonction de la fréquence du



signal de commande de base (BT) du transist.

Afin que la rampe puisse atteindre la tension max +15V ; et vu que la fréquence minimale attendue pour leGBT est  $f = 5\text{Hz}$ . alors:

$$T_{\max} = \frac{1}{f_{\min}} = \frac{1}{5} = 0.2\text{ s}.$$

$$\text{or } V_s = -\frac{1}{RC} \int_0^{T_m} V_e dt = -\frac{V_e}{RC} \cdot T_m \quad V_e = -15\text{V}.$$

$$\frac{T_m}{RC} = \frac{V_s}{V_e} = 1 \Rightarrow RC = T_m = 0.2\text{ s}$$

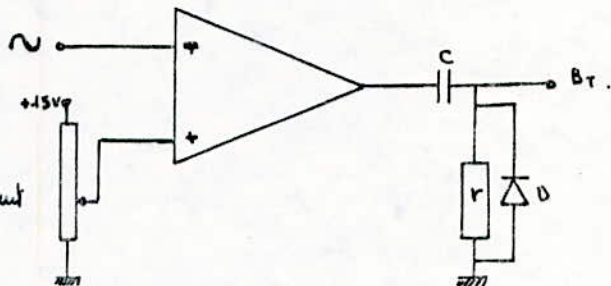
alors on a choisi :  $R = (5510^3 \pm 10\%) \Omega$  ;  $C = (4915 \pm 20\%) \mu\text{F}$ .

b) Commande de base du transistor:

on a pris la commande de l'intégrateur un transistor de type NPN 2219 qui est à son tour commandé par un générateur d'impulsion comme montré ci-dessous.

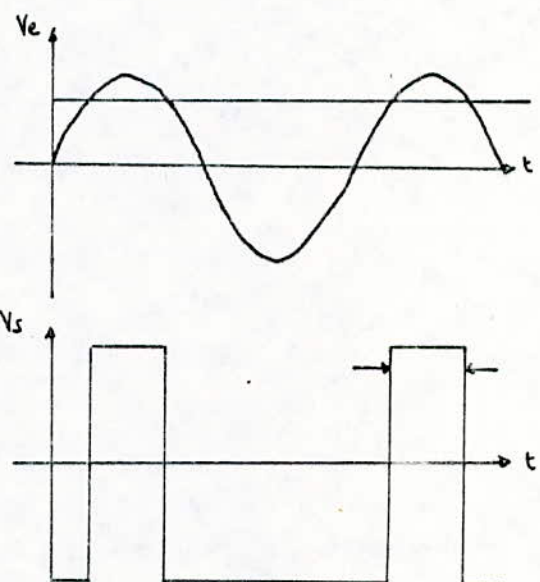
b.1: Principe de fonctionnement:

Le UAT41 travaille en comparaison; il compare les deux signaux d'entrée; en basculant entre les deux niveaux de tension + 15 V et - 15 V.



Le choix du signal sinusoidal dans l'entrée inverseuse, et la tension continue-variable (par potentiomètre) dans l'entrée non inverseuse, et de nous permettre le réglage de la largeur des tops positifs qui influent beaucoup sur le temps d'intégration.

La largeur des tops a une limite; au-delà de laquelle le comparateur peut ne pas fonctionner; c'est pourquoi on a ajouté un circuit différentiateur R,C; afin d'obtenir des impulsions brèves assurant la décharge rapide du condensateur.



Choix de r, C du différentiateur:

Le choix de r, et C a été fait de façon à avoir une impulsion de courte durée : τ très faible.

$$\text{avec } r = (10^3 \pm 5\%) \Omega ; C = (47 \cdot 10^{-3} \pm 10\%) \text{ PF}$$
$$\Rightarrow \tau = 47 \cdot 10^{-3} \text{ ms.}$$

Idee de base du circuit déphaseur:

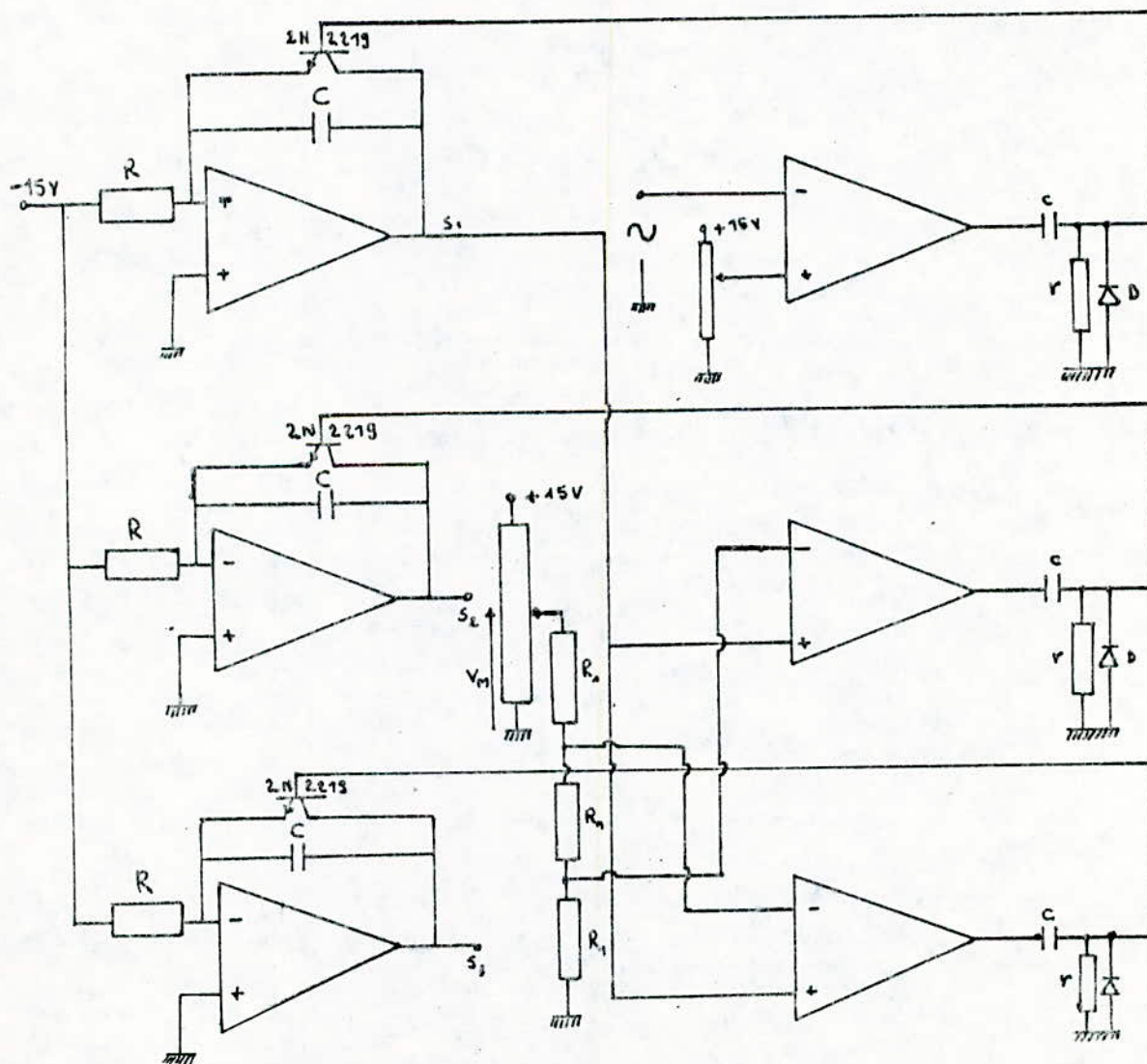
L'idée de base pour déphaser les deux signaux est la suivante:

A trois intégrateurs identiques; on associe trois comparateurs avec leurs propres circuits différentiateurs, qui pour téléphé le commande des transistors.

Pour avoir le déphasage désiré; la tension de référence pour les deux autres comparateurs est la rampe mire, (sortie du premier intégrateur).

Alors les deux comparateurs auront comme tensions d'entrée; la rampe mire et une tension égale à  $1/3$  ou  $2/3$  de la valeur crête de la rampe mire; cette tension est obtenue par un diviseur résistif.

Pour mieux comprendre le principe de fonctionnement du déphaseur, voyons le schéma ci contre:



N.B:

Pour limiter la consommation du pont diviseur ; on a choisi des grandeurs résistances  $R_1 = (19 \cdot 10^3 \pm 10\%) \Omega$ .

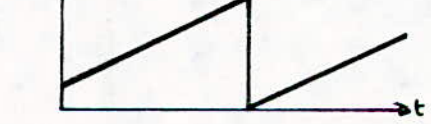
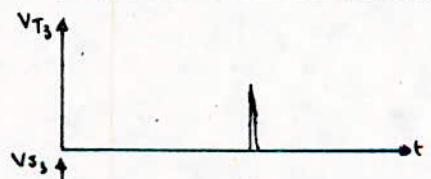
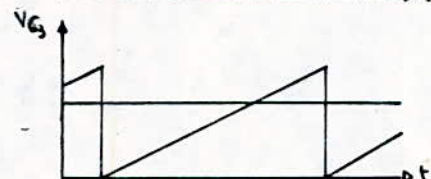
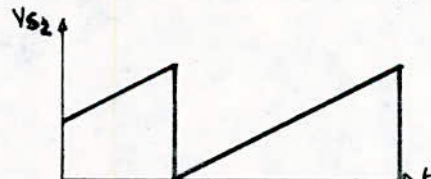
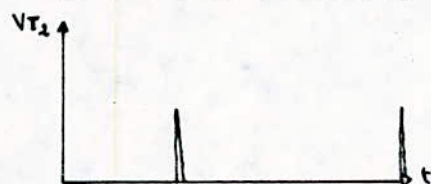
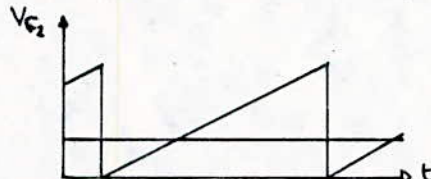
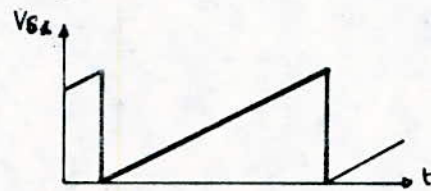
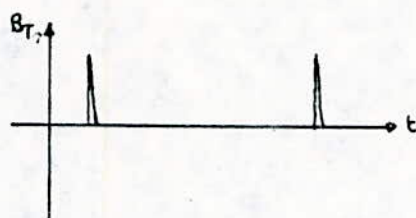
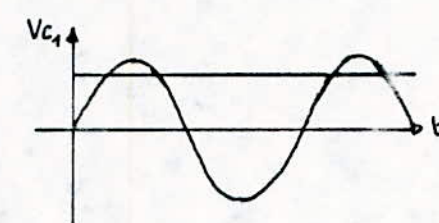
Afin d'éclaircir le principe de fonctionnement du déphaseur proposé ; voyons les réponses des différents éléments.

Nomenclature :

$V_{ci}$  : tension d'entrée du comparateur.

$V_{sc}$  : tension de sortie de l'intégrateur

$V_{tc}$  : tension de base du transistor.

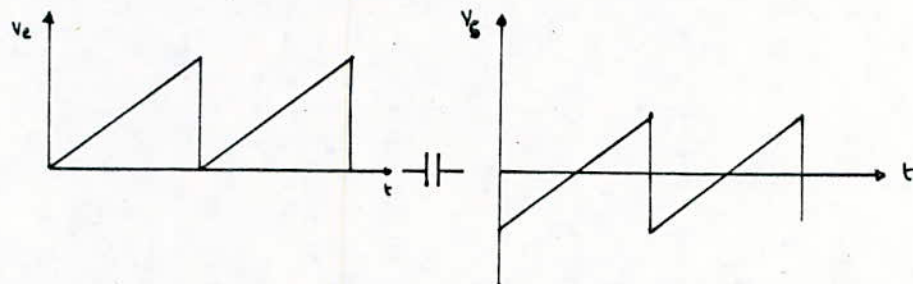


Un inconvénient de cette procédure de déphasage; c'est que pour chaque fréquence du signal de commande de base - sinusoïdal - la tension crête de la rampe mise en varie, ce qui nous oblige d'ajuster la tension de consigne à l'aide du potentiomètre; ce qui est pas commode pour l'alimentation d'un récepteur; tel que le moteur synchrone; facteur qui nous a poussé de penser à un dispositif permettant l'atténuation du déphasage à la fréquence du signal de commande de base.

#### B. ASSEVRISSEMENT DU DÉPHASAGE ET LA FRÉQUENCE DU SIGNAL DE BASE:

Plusieurs idées nous ont conduit à des résultats non solides; grant qu'on arrive à une méthode plus efficace, que l'on va expliquer.

L'attaque d'un condensateur par un signal en dents de scie; nous a donné une réponse alternative, comme l'est montée ci-dessous:



Ceci est dû au fait que la dents de scie peut être décomposée en série de fourier, en donnant une valeur moyenne qui est constante - non passante à travers le condensateur - et d'autres harmoniques qui ont pris forme le signal alternatif.

Mais, pratiquement le signal de scie n'est pas symétrique; pour compenser cette asymétrie on a ajouté une résistance ajustable en série avec le condensateur.

Formule la tension de sortie de l'intégrateur est une droite d'équation :

$$V_1 = at \quad \text{où} \quad a = \frac{V_e}{RC}. \quad \text{de valeur crête } V_M.$$

La réponse fournie par le condensateur mis en série est une droite aussi de même pente :  $V_2 = at - \frac{V_M}{2}$

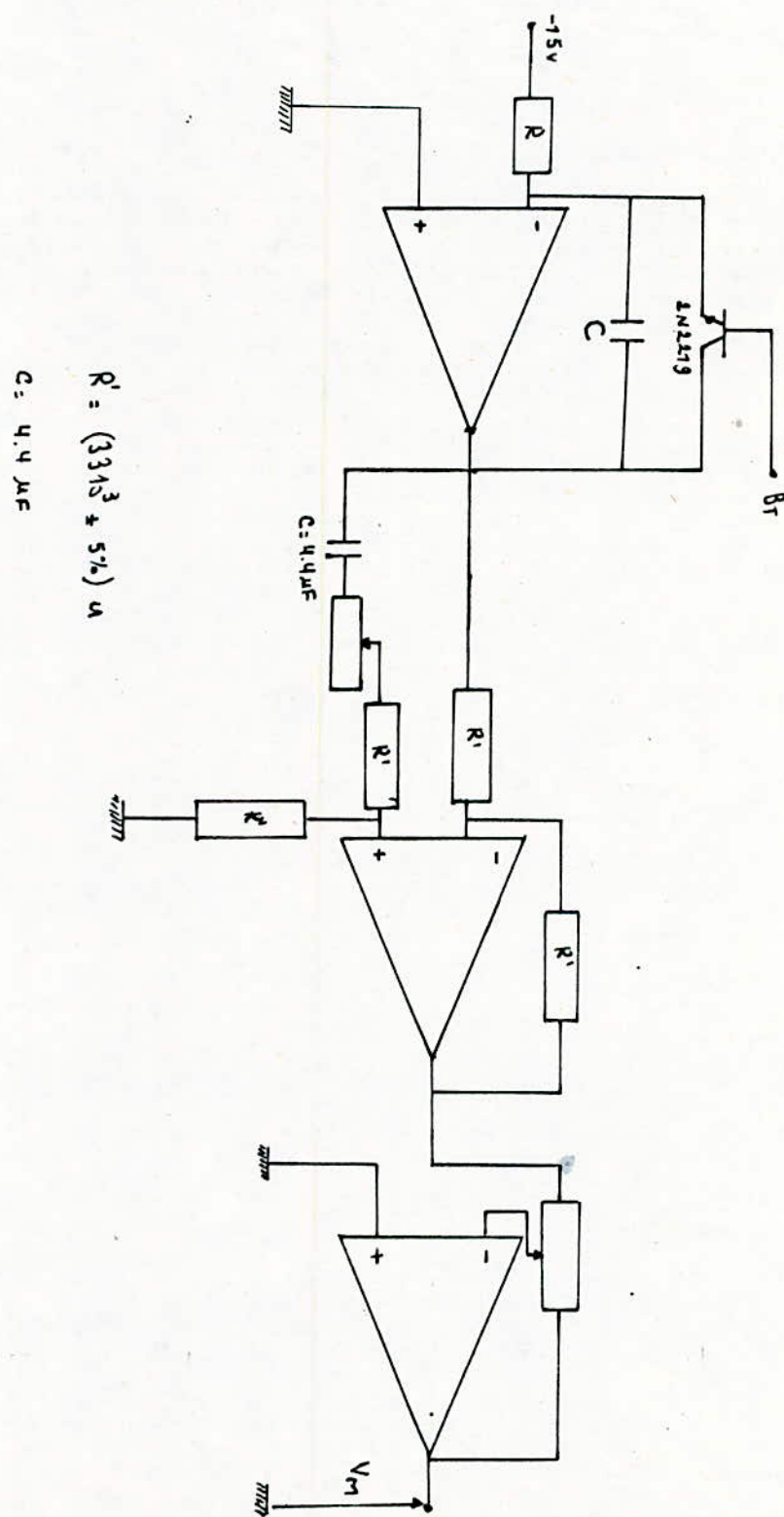
A l'aide d'un sommeur on additionne les deux tensions  $V_1$  et  $V_2$

D'où  $V_1 + V_2 = -\frac{V_M}{2}$ .

Avec un autre montage inverseur-proportionnel, on obtient la valeur crête de la rampe mesée:  $V_M$ , qui sera noté en tensim de consigne (alimentant le diviseur résistif).

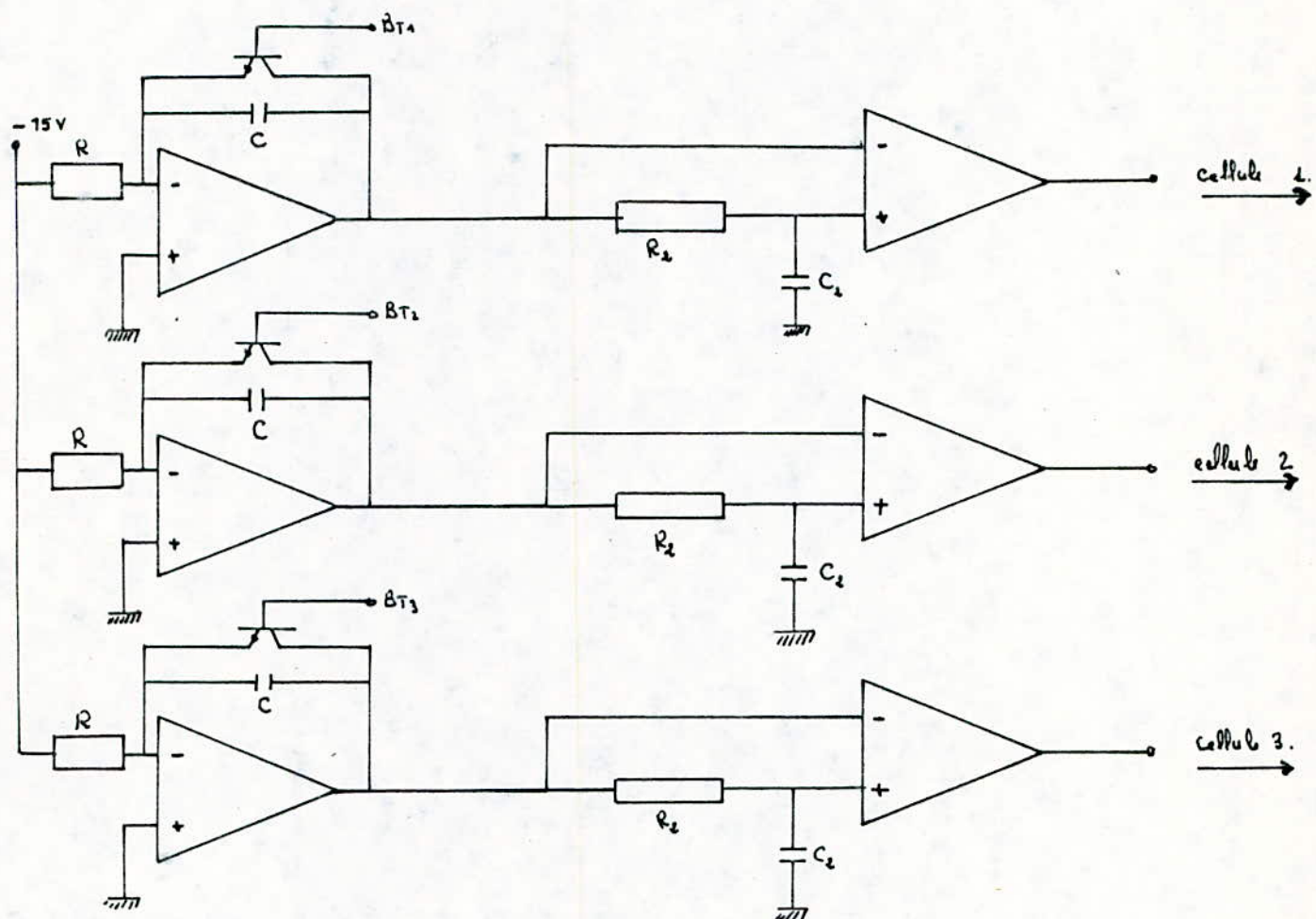
Ainsi peu importe quelle fréquence du signal de commande, le déphasage restera intact.

Pour mieux illustrer l'idée voici le montage pratique:



Couplage du déphaseur aux cellules de puissance:

Une fois la commande terminée, on passe à la cellule de puissance ; pour cela, à partir des trois intégrateurs triphasés. On attaque trois comparateurs, à travers des circuits RC.



B.1 Choix de R<sub>2</sub>, C<sub>2</sub>:

U : c'est la tension au bornes du condensateur.

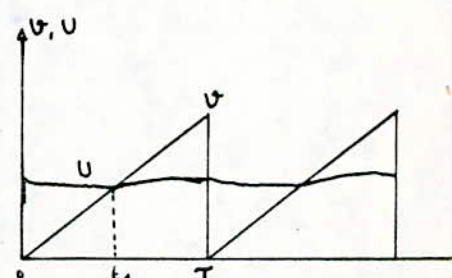
U : la tension de sortie de l'intégrateur.

Sous :  $0 < t < t_1$

$$\text{on a: } U = U + R_2 i \quad \text{où } U = at.$$

Sous :  $t_1 < t < T$

$$\text{on a: } U + R_2 i = U.$$



de ces deux équations on aboutit aux solutions suivantes:

Pour  $0 < t < t_1$

$$U = a \left[ t + R_2 C_2 + B e^{\frac{1}{R_2 C_2} t} \right] \quad (1)$$

Pour  $t_1 < t < T$

$$U = a \left[ t - R_2 C_2 + M e^{-\frac{1}{R_2 C_2} t} \right]$$

où  $B$  et  $M$  sont deux paramètres à déterminer.

Ce qui nous intéresse c'est d'avoir à l'instant  $t_1 = T/2$  pour avoir un signal de sortie de rapport cyclique  $\alpha = 50\%$ .

Si on prend l'équation (1):

$$U = a \left[ t + R_2 C_2 + B e^{\frac{1}{R_2 C_2} t} \right]$$

$$\text{A } t=0, U = U_0 \Rightarrow B = \frac{U_0}{a} - R_2 C_2 \Rightarrow U = a \left[ t + R_2 C_2 + \left( \frac{U_0}{a} - R_2 C_2 \right) e^{\frac{1}{R_2 C_2} t} \right]$$

$$\text{si on choisit pour } U_0 = \frac{V_M}{2}, \text{ on aura: } U = a \left[ t + R_2 C_2 + \left( \frac{V_M}{2a} - R_2 C_2 \right) e^{\frac{1}{R_2 C_2} t} \right]$$

$$\text{D'autre part: à } t = T/2 \quad U = V = a \frac{T}{2}.$$

$$a \frac{T}{2} = a \left[ \frac{T}{2} + R_2 C_2 + \left( \frac{V_M}{2a} - R_2 C_2 \right) e^{\frac{T}{2R_2 C_2}} \right]$$

$$\Rightarrow R_2 C_2 + \left( \frac{V_M}{2a} - R_2 C_2 \right) e^{\frac{T}{2R_2 C_2}} = 0 \quad (3)$$

$$\text{si on pose: } x = R_2 C_2. \text{ alors } (3) \Leftrightarrow x + \left( \frac{V_M}{2a} - x \right) e^{\frac{T}{2x}} = 0 \quad (4).$$

$$V = at ; \quad V_M = aT \Rightarrow \frac{V_M}{a} = T.$$

$$\text{l'équation (4) devient: } x + \left( \frac{T}{2} - x \right) e^{\frac{T}{2x}} = 0$$

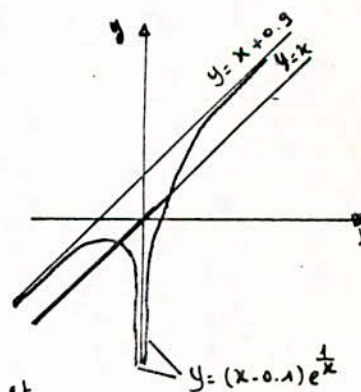
$$\text{pour } f = 5 \text{ Hz} \Rightarrow T = \frac{1}{f} = 0.2 \text{ s} \Rightarrow x + (0.1 - x) e^{\frac{1}{2x}} = 0.$$

$$\text{Par le méthode graphique: on tire } x = 0.9 \text{ s} \Rightarrow R_2 C_2 = 0.9 \text{ s.}$$

$$\text{si on choisit } C_2 = 1000 \mu F ; R_2 = 0.9 \text{ k}\Omega \approx 1 \text{ k}\Omega.$$

$$\text{ces valeurs sont valables même pour la fréquence } f = 50 \text{ Hz.}$$

Alors nos hypothèses sont valables; chose qu'on a vérifiée pratiquement; et qui nous a donné une tension  $U$  quasiment constante; surtout à très basse fréquence; l'ondulation apparaît dès qu'on monte en fréquence.



Conclusion:

Cette méthode nous a permis d'avoir un système triphasé à l'entier des cellules de puissance.

Avec cette méthode on évite la répercussion du déséquilibre inévitable des trois lampes principales, sur le fonctionnement du commutateur.

## CONCLUSION GÉNÉRALE

au cours de mon travail, qui a eu pour objectif la mise au point avec l'étude d'un commutateur électronique à transistors; nous avons abordé trois thèmes principaux; à travers lesquels on a exposé les problèmes majeurs rencontrés en commutation avec leurs solution, ensuite la mise en évidence de certains réseaux d'A.L.C, et enfin la réalisation du commutateur triphasé à partir de trois commutateurs monophasés. Alternatifs.

Durant notre réalisation; qui fut adapté aux moyens matériels disponibles au niveau de notre département; on a rencontré certaines difficultés parmi lesquelles on cite la non disponibilité d'une alimentation de puissance stabilisée à cause de laquelle nos travaux ont été limités.

Malgré ces obstacles, notre travail représente une réussite au profit du laboratoire dans le domaine de la commande électronique des machines électriques qui occupe une place importante - ces derniers temps - dans les projets de fin d'études et thèses de magister.

Enfin, notre réalisation peut présenter un début d'un grand travail versant l'auto-pilotage de la machine synchrone.



# ANNEXE

## TYPES 2N2217 THRU 2N2222, 2N2218A, 2N2219A, 2N2221A, 2N2222A N-P-N SILICON TRANSISTORS

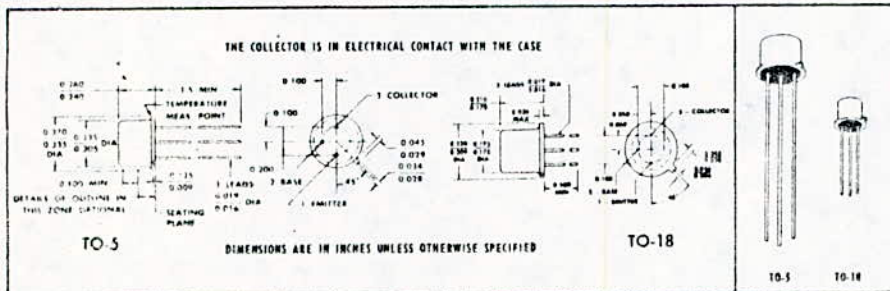
BULLETIN NO. DL S 7311916, MARCH 1973

### DESIGNED FOR HIGH-SPEED, MEDIUM-POWER SWITCHING AND GENERAL PURPOSE AMPLIFIER APPLICATIONS

- $h_{FE}$  . . . Guaranteed from 100  $\mu$ A to 500 mA
- High  $f_T$  at 20 V, 20 mA . . . 300 MHz (2N2219A, 2N2222A)  
250 MHz (all others)
- 2N2218, 2N2221 for Complementary Use with 2N2904, 2N2906
- 2N2219, 2N2222 for Complementary Use with 2N2905, 2N2906

### \*mechanical data

Device types 2N2217, 2N2218, 2N2218A, 2N2219, and 2N2219A are in JEDEC TO-5 packages.  
Device types 2N2220, 2N2221, 2N2221A, 2N2222, and 2N2222A are in JEDEC TO-18 packages.



### \*absolute maximum ratings at 25°C free-air temperature (unless otherwise noted)

	2N2217 2N2218 2N2219	2N2218A 2N2219A	2N2220 2N2221 2N2222	2N2221A 2N2222A	UNIT
Collector-Base Voltage	60	75	60	75	V
Collector-Emitter Voltage (See Note 1)	30	40	30	40	V
Emitter-Base Voltage	5	6	5	6	V
Continuous Collector Current	0.8	0.8	0.8	0.8	A
Continuous Device Dissipation at (or below) 25°C Free Air Temperature (See Notes 2 and 3)	0.8	0.8	0.5	0.5	W
Continuous Device Dissipation at (or below) 25°C Case Temperature (See Notes 4 and 5)	3	3	1.8	1.8	W
Operating Collector Junction Temperature Range	-65 to 175 °C				
Storage Temperature Range	-65 to 200 °C				
Lead Temperature 1/16 Inch from Case for 10 Seconds	230 °C				

NOTES: 1. These values apply between 0 and 500 mA collector current when the base-emitter diode is open-circuited.  
2. Derate 2N2217, 2N2218, 2N2218A, 2N2219, and 2N2219A linearly to 175°C free-air temperature at the rate of 5.33 mW/°C.  
3. Derate 2N2220, 2N2221, 2N2221A, 2N2222, and 2N2222A linearly to 175°C free-air temperature at the rate of 3.33 mW/°C.  
4. Derate 2N2217, 2N2218, 2N2218A, 2N2219, and 2N2219A linearly to 175°C case temperature at the rate of 20.0 mW/°C.  
5. Derate 2N2220, 2N2221, 2N2221A, 2N2222, and 2N2222A linearly to 175°C case temperature at the rate of 12.0 mW/°C.

\*JEDEC registered data. This data sheet contains all applicable registered data in effect at the time of publication.

USES CHIP N24

## TYPES 2N2217

\*electrical characteristics at 25°C

PARAMETER	
$V_{BRICBO}$	Collector-Base Breakdown Voltage
$V_{BRICEO}$	Collector-Emitter Breakdown Voltage
$V_{BRIEBO}$	Emitter-Base Breakdown Voltage
$I_{CBO}$	Collector Cutoff Current
$I_{EBO}$	Emitter Cutoff Current
$I_{FE}$	Static Forward Current Transfer Ratio
$V_{BE}$	Base-Emitter Voltage
$V_{CE(sat)}$	Collector-Emitter Saturation Voltage
$I_{FE}$	Common Emitter Forward Current Transfer Ratio
$f_T$	Transition Frequency
$C_{obs}$	Common Base Open-Circuit Output Capacitance
$R_{hie}$	Real Part of Small-Signal Common-Emitter Input Impedance
$R_{hie(real)}$	Small-Signal Common-Emitter Input Impedance

NOTES: 6. These parameters must be measured at 25°C.  
7. To obtain  $f_T$ , the  $f_{Tg}$  is the frequency at which  $f_{Tg} = 1$ .

### switching characteristics at 25°C

PARAMETER	
$t_d$	Delay Time
$t_r$	Rise Time
$t_s$	Storage Time
$t_f$	Fall Time

<sup>a</sup>Voltage and current values shown are nominal.

\*JEDEC registered data.

TEXAS INSTRUMENTS

## TYPES 2N2217

**TYPES 2N2217 THRU 2N2222, 2N2218A, 2N2219A, 2N2221A, 2N2222A**  
**N-P-N SILICON TRANSISTORS**

2N2218A, 2N2219A, 2N2221A, 2N2222A

\*electrical characteristics at 25°C free-air temperature (unless otherwise noted)

PARAMETER	TEST CONDITIONS	TO-5 ~		2N2218A		2N2219A		2N2222A		UNIT
		TO-18 ~		MIN	MAX	MIN	MAX	MIN	MAX	
V <sub>BH(CEO)</sub> Collector Base Breakdown Voltage	I <sub>C</sub> = 10 μA, I <sub>E</sub> = 0			75		75				V
V <sub>BH(CEO)</sub> Collector Emitter Breakdown Voltage	I <sub>C</sub> = 10 mA, I <sub>B</sub> = 0,	See Note 6		40		40*				V
V <sub>BH(EO)</sub> Emitter-Base Breakdown Voltage	I <sub>E</sub> = 10 μA, I <sub>C</sub> = 0			0		0				V
I <sub>CO</sub> Collector Cutoff Current	V <sub>CB</sub> = 60 V, I <sub>E</sub> = 0					10		10		nA
I <sub>CEV</sub> Collector Cutoff Current	V <sub>CB</sub> = 60 V, I <sub>E</sub> = 0, T <sub>A</sub> = 150°C					10		10		nA
I <sub>BEV</sub> Base Cutoff Current	V <sub>CE</sub> = 60 V, V <sub>BE</sub> = -3 V					10		10		nA
I <sub>EB</sub> Emitter Cutoff Current	V <sub>CE</sub> = 60 V, V <sub>EB</sub> = -3 V					-20		-20		nA
	V <sub>EB</sub> = 3 V, I <sub>C</sub> = 0					10		10		nA
	V <sub>CE</sub> = 10 V, I <sub>C</sub> = 100 μA			70		35				
	V <sub>CE</sub> = 10 V, I <sub>C</sub> = 1 mA			25		50				
	V <sub>CE</sub> = 10 V, I <sub>C</sub> = 10 mA			35		75				
	V <sub>CE</sub> = 10 V, I <sub>C</sub> = 150 mA			40		120	100	300		
	V <sub>CE</sub> = 10 V, I <sub>C</sub> = 500 mA			25		40				
	V <sub>CE</sub> = 1 V, I <sub>C</sub> = 150 mA			20		50				
	V <sub>CE</sub> = 10 V, I <sub>C</sub> = 10 mA, T <sub>A</sub> = -55°C			15		35				
I <sub>FE</sub> Static Forward Current Transfer Ratio	I <sub>B</sub> = 15 mA, I <sub>C</sub> = 150 mA	See Note 6		0.6		1.2	0.6	1.2		V
	I <sub>B</sub> = 50 mA, I <sub>C</sub> = 500 mA					2		2		
	I <sub>B</sub> = 15 mA, I <sub>C</sub> = 150 mA					0.3		0.3		V
	I <sub>B</sub> = 50 mA, I <sub>C</sub> = 500 mA	See Note 6				1		1		
	V <sub>CE</sub> = 10 V, I <sub>C</sub> = 1 mA			1	3.5	2	3			KHz
h <sub>ie</sub> Small-Signal Common-Emitter Input Impedance	V <sub>CE</sub> = 10 V, I <sub>C</sub> = 10 mA			0.2		1	0.25	1.25		
	V <sub>CE</sub> = 10 V, I <sub>C</sub> = 1 mA			30	150	50	300			
h <sub>fe</sub> Small-Signal Forward Current Transfer Ratio	V <sub>CE</sub> = 10 V, I <sub>C</sub> = 1 mA			50	300	75	375			
	V <sub>CE</sub> = 10 V, I <sub>C</sub> = 10 mA				5x10 <sup>-4</sup>		8x10 <sup>-4</sup>			
h <sub>re</sub> Reverse Voltage Transfer Ratio	V <sub>CE</sub> = 10 V, I <sub>C</sub> = 1 mA				2.5x10 <sup>-4</sup>		4x10 <sup>-4</sup>			
	V <sub>CE</sub> = 10 V, I <sub>C</sub> = 10 mA				3	15	5	35		μmho
h <sub>oe</sub> Output Admittance	V <sub>CE</sub> = 10 V, I <sub>C</sub> = 1 mA				10	100	25	200		
	V <sub>CE</sub> = 10 V, I <sub>C</sub> = 10 mA									
P <sub>FE</sub> Forward Current Transfer Ratio	V <sub>CE</sub> = 20 V, I <sub>C</sub> = 20 mA, f = 100 MHz			2.5		3				
	V <sub>CE</sub> = 20 V, I <sub>C</sub> = 20 mA, See Note 7			250		300				MHz
C <sub>BO</sub> Common-Base Open-Circuit Output Capacitance	V <sub>CB</sub> = 10 V, I <sub>E</sub> = 0, f = 100 kHz					8		8		pF
	V <sub>EB</sub> = 0.5 V, I <sub>C</sub> = 0, f = 100 kHz					25		25		pF
P <sub>FE</sub> (f=1)	Real Part of Small-Signal Common-Emitter Input Impedance	V <sub>CE</sub> = 20 V, I <sub>C</sub> = 20 mA, f = 500 MHz				60		60		
	Collector Bias Time Constant	V <sub>CE</sub> = 20 V, I <sub>C</sub> = 20 mA, f = 31.8 MHz				150		150		ns

NOTES: 6. These parameters must be measured using pulse techniques; t<sub>w</sub> = 360 μs, DUTY CYCLE = 2%.  
 7. To obtain t<sub>w</sub>, the P<sub>FE</sub> response with frequency is extrapolated at the rate of -6 dB per octave from f = 100 MHz to the frequency at which P<sub>FE</sub> = 1.

\*EDEC registered data

\*operating characteristic

PARA

F Spot Noise Figure

\*switching characteristic

PARA

t<sub>d</sub> Delay Timet<sub>r</sub> Rise Timet<sub>A</sub> Active Region Tt<sub>S</sub> Storage Timet<sub>F</sub> Fall Time

Voltage and current values are

under the given conditions.

INPUT O-

INPUT

NOTES: a. The input

b. 5 mV, 1 pA

d. All waveforms

JEDEC registered data

SII 373

To receive brochures, application

representative, or data sheet

TEAS INSTRUMENTS RESERVES THE RIGHT

IN ORDER TO IMPROVE DESIGN AND TO

TEXAS INSTRUMENTS

222A

**TYPES 2N2217 THRU 2N2222, 2N2218A, 2N2219A, 2N2221A, 2N2222A  
N-P-N SILICON TRANSISTORS**

2N2219A	UNIT
2N2222A	
V MAX	V
5	V
0*	V
6	V
10	nA
10	μA
10	nA
10	nA
10	nA
15	
20	
75	
300	
10	
50	
35	
16	1.2 V
	2
0.3	V
1	-
2	8 kΩ
25	1.75
60	300
75	375
8x10 <sup>-4</sup>	
4x10 <sup>-4</sup>	
5	35 μmho
25	200 μmho
3	
100	1 MHz
8	μF
25	μF
60	Ω
150	ps

from t = 100 MHz to the

\*operating characteristics at 25°C free air temperature

PARAMETER	TEST CONDITIONS	TO-5 →	2N2218A	2N2219A	UNIT
		TO-18 →	2N2221A	2N2222A	
F Spot Noise Figure	V <sub>CE</sub> = 10 V, I <sub>C</sub> = 100 μA, R <sub>G</sub> = 1 kΩ, f = 1 kHz				4 dB

\*switching characteristics at 25°C free-air temperature

PARAMETER	TEST CONDITIONS†	TO-5 →	2N2218A	2N2219A	UNIT
		TO-18 →	2N2221A	2N2222A	
t <sub>d</sub> Delay Time	V <sub>CC</sub> = 30 V, I <sub>C</sub> = 150 mA, I <sub>B(1)</sub> = 15 mA,				ns
t <sub>r</sub> Rise Time	V <sub>BE(off)</sub> ≈ -0.5 V, See Figure 1	10	10	10	ns
t <sub>A</sub> Active Region Time Constant‡		25	25	25	ns
t <sub>s</sub> Storage Time	V <sub>CC</sub> = 30 V, I <sub>C</sub> = 150 mA, I <sub>B(1)</sub> = 15 mA,	225	225	225	ns
t <sub>f</sub> Fall Time	I <sub>B(2)</sub> = -15 mA, See Figure 2	60	60	60	ns

†Voltage and current values shown are nominal; exact values vary slightly with transistor parameters.

‡Under the given conditions t<sub>A</sub> is equal to  $\frac{t_f}{10}$ .

\*PARAMETER MEASUREMENT INFORMATION

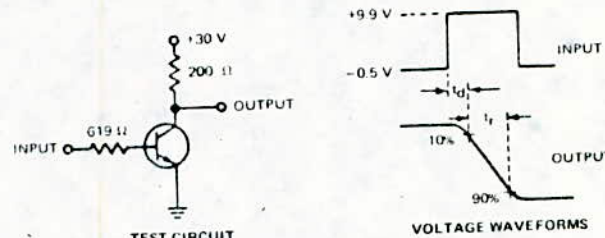


FIGURE 1-DELAY AND RISE TIMES

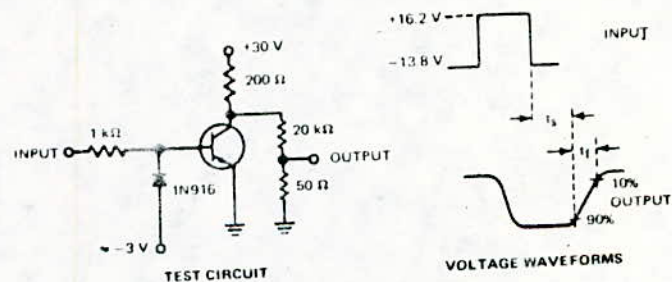


FIGURE 2-STORAGE AND FALL TIMES

NOTES: a. The input waveforms have the following characteristics: For Figure 1, t<sub>r</sub> ≤ 2 ns, t<sub>w</sub> ≤ 200 ns, duty cycle ≤ 2%; for Figure 2, t<sub>r</sub> ≤ 5 ns, t<sub>w</sub> ≤ 100 μs, duty cycle ≤ 17%.

b. All waveforms are monitored on an oscilloscope with the following characteristics: t<sub>r</sub> ≤ 5 ns, R<sub>in</sub> ≥ 100 kΩ, C<sub>in</sub> ≤ 12 pF.

\*JEDEC registered data

**THOMSON-CSF**  
DIVISION SEMICONDUCTEURS DISCRETS

## 2N 3055 S

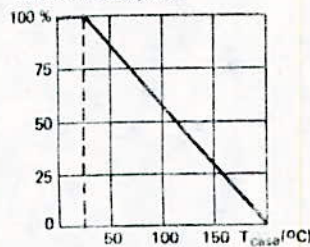
NPN SILICON TRANSISTOR, HOMOBASE  
TRANSISTOR NPN SILICIUM, HOMOBASE

... under CCQ ( 1971 n° 100 )  
... soumis au Contrôle central de qualité ( 1971 n° 100 )

**LF large signal amplification**  
*Amplification BF grands signaux de puissance*

**High current switching**  
*Commutation fort courant*

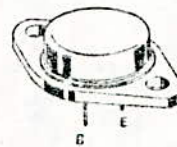
**Dissipation derating**  
*Variation de dissipation*



**Climatic class** 55 / 125 / 56  
*Classe climatique*

V <sub>CEO</sub>	60 V
I <sub>C</sub>	15 A
P <sub>tot</sub>	117 W
R <sub>th(j-c)</sub>	1,5 °C/W max
h <sub>21E</sub> (4 A)	20 - 70
f <sub>T</sub>	0,8 MHz min

**Case** TO 3 (CB 19)  
*Boîtier*



### ABSOLUTE RATINGS (LIMITING VALUES)

VALEURS LIMITES ABSOLUES D'UTILISATION

Collector-emitter voltage Tension collecteur-émetteur	V <sub>CEO</sub>	60	V
Collector-emitter voltage Tension collecteur-émetteur	V <sub>CER</sub>	70	V
Collector-emitter voltage Tension collecteur-émetteur	V <sub>CEX</sub>	100	V
Emitter-base voltage Tension émetteur-base	V <sub>EBO</sub>	7	V
Collector current Courant collecteur	I <sub>C</sub>	15	A
Base current Courant base	I <sub>B</sub>	7	A
Power dissipation Dissipation de puissance	P <sub>tot</sub>	117	W
Junction temperature Température de jonction	I <sub>J</sub>	200	°C

junction-case thermal resistance Résistance thermique junction-boîtier	max	R <sub>th(j-c)</sub>	1,5	°C/W
---	-----	----------------------	-----	------

50, rue Jean-Pierre Timbaud - BP 5  
92191 Courbevoie Cedex FRANCE  
Tel. 111 738 50-01 Telex : 610560

Novembre 1979 1/6

**THOMSON-CSF**  
GROUPE ELECTRONIQUE

\*2N 3055 S

**STATIC CHARACTERISTICS**  
**CARACTÉRISTIQUES STATIQUES**

T<sub>case</sub> 25 °C

( Unless otherwise stated )  
( Sauf indications contraires )

	Test conditions Conditions de mesure		min	typ	max	
Collector-emitter cut-off current Courant résiduel collecteur-émetteur	V <sub>CE</sub> = 30 V I <sub>B</sub> = 0	I <sub>CEO</sub>			0,7	mA
Collector-emitter cut-off current Courant résiduel collecteur-émetteur	V <sub>CE</sub> = 100 V V <sub>BE</sub> = -1,5 V	I <sub>CEX</sub>			5	mA
	V <sub>CE</sub> = 100 V V <sub>BE</sub> = -1,5 V T <sub>case</sub> = 150 °C				30	mA
Emitter-base cut-off current Courant résiduel émetteur-base	V <sub>EB</sub> = 7 V I <sub>C</sub> = 0	I <sub>EBO</sub>			5	mA
Collector-emitter breakdown voltage Tension de claquage collecteur-émetteur	I <sub>C</sub> = 200 mA I <sub>B</sub> = 0	V <sub>(BR)CEO</sub> *	60			V
Collector-emitter breakdown voltage Tension de claquage collecteur-émetteur	I <sub>C</sub> = 200 mA R <sub>BE</sub> = 100 Ω	V <sub>(BR)CER</sub> *	70			V
Static forward current transfer ratio Valeur statique du rapport de transfert direct du courant	V <sub>CE</sub> = 4 V I <sub>C</sub> = 4 A	h <sub>21E</sub> *	20	70		
	V <sub>CE</sub> = 4 V I <sub>C</sub> = 10 A		5			
	V <sub>CE</sub> = 4 V I <sub>C</sub> = 4 A T <sub>case</sub> = -55 °C		10			
	I <sub>C</sub> = 4 A I <sub>B</sub> = 0,4 A				1,1	V
Collector-emitter saturation voltage Tension de saturation collecteur-émetteur	I <sub>C</sub> = 10 A I <sub>B</sub> = 3,3 A	V <sub>CESat</sub> *			2,5	V
	I <sub>C</sub> = 4 A I <sub>B</sub> = 3,3 A				4	V
Base-emitter saturation voltage Tension de saturation base-émetteur	I <sub>C</sub> = 10 A I <sub>B</sub> = 3,3 A	V <sub>BESat</sub> *				
Base-emitter voltage Tension base-émetteur	I <sub>C</sub> = 4 A V <sub>CE</sub> = 4 A	V <sub>BE</sub> *			1,8	V

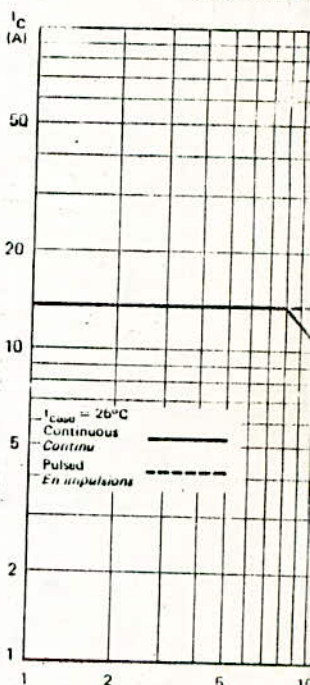
**DYNAMIC CHARACTERISTICS ( for small signals )**

**CARACTÉRISTIQUES DYNAMIQUES ( pour petits signaux )**

Transition frequency Fréquence de transition	V <sub>CE</sub> = 4 V I <sub>C</sub> = 1 A f = 0,5 MHz	f <sub>T</sub>	0,8			MHz
---	--	----------------	-----	--	--	-----

\* Pulsed  
Impulsions t<sub>p</sub> = 300 μs δ < 2 %

SAFE OPERA  
Aire de fonctionnement



## BIBLIOGRAPHIE

- Le transistor en commutation et ses applications \* YVES G. PALCAN \* édi : Sept 82
- Machines électriques - électronique de puissance \* Collection HEBERT \* édi : Mars 85
- Cours d'électrotechnique (traitement de l'énergie électrique) \* J.L. DALMASSO \* édi. Sept 84
- Principes d'électronique \* A. MALVINO édi : 80.
- Electroniques (terminale F2) \* J.NIARD \* édi : 81.
- Cours d'électronique de puissance \* A. MAAZI \* FEN : 1985 .
- Semi-conducteurs (transistors) \* Collection FOUCHEZ \* éd: 78.
- Les composants actifs en commutation \* C. VERBEEK \* édi : 80
- Les fonctions essentielles en commutation \* C. VERBEEK \* éd: 80
- Pratique de l'électronique - Tome I . \* M. AUMIAUX , éd : 80 .